

Rebuncher 実験

京都大学原子炉実験所 北口雅曉

九大理 吉岡瑞樹

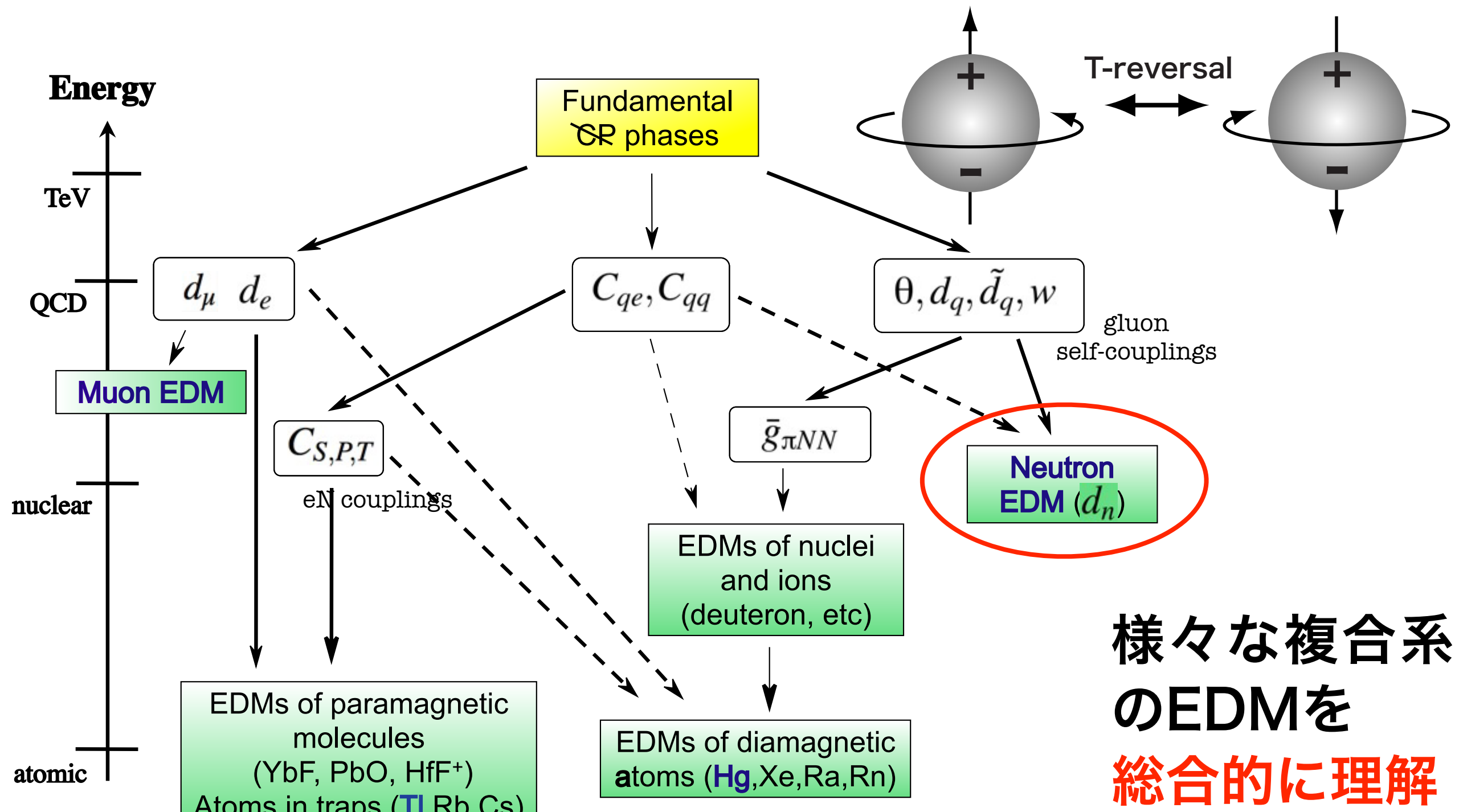
名大理 清水裕彦、KEK 有本靖

京大理 今城想平 京大化研 岩下芳久

東大素粒子国際センター 三島賢二、山下 了

and NOP collaboration

中性子電気双極子モーメント

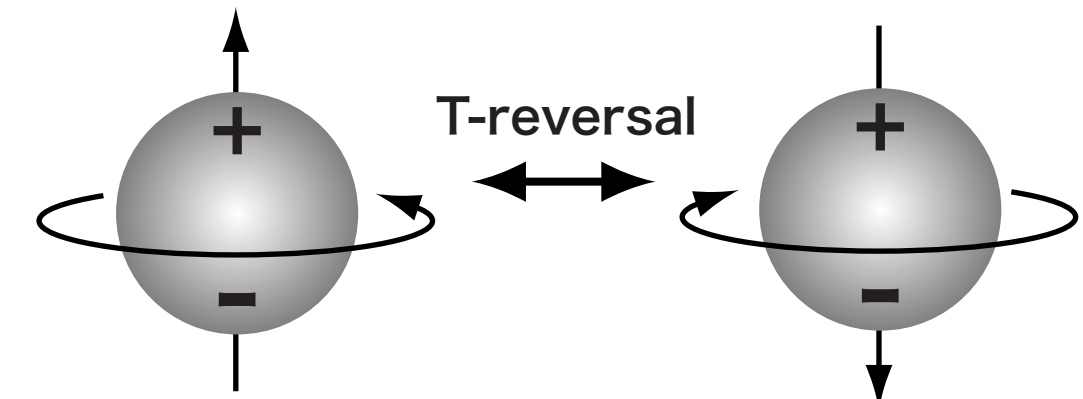
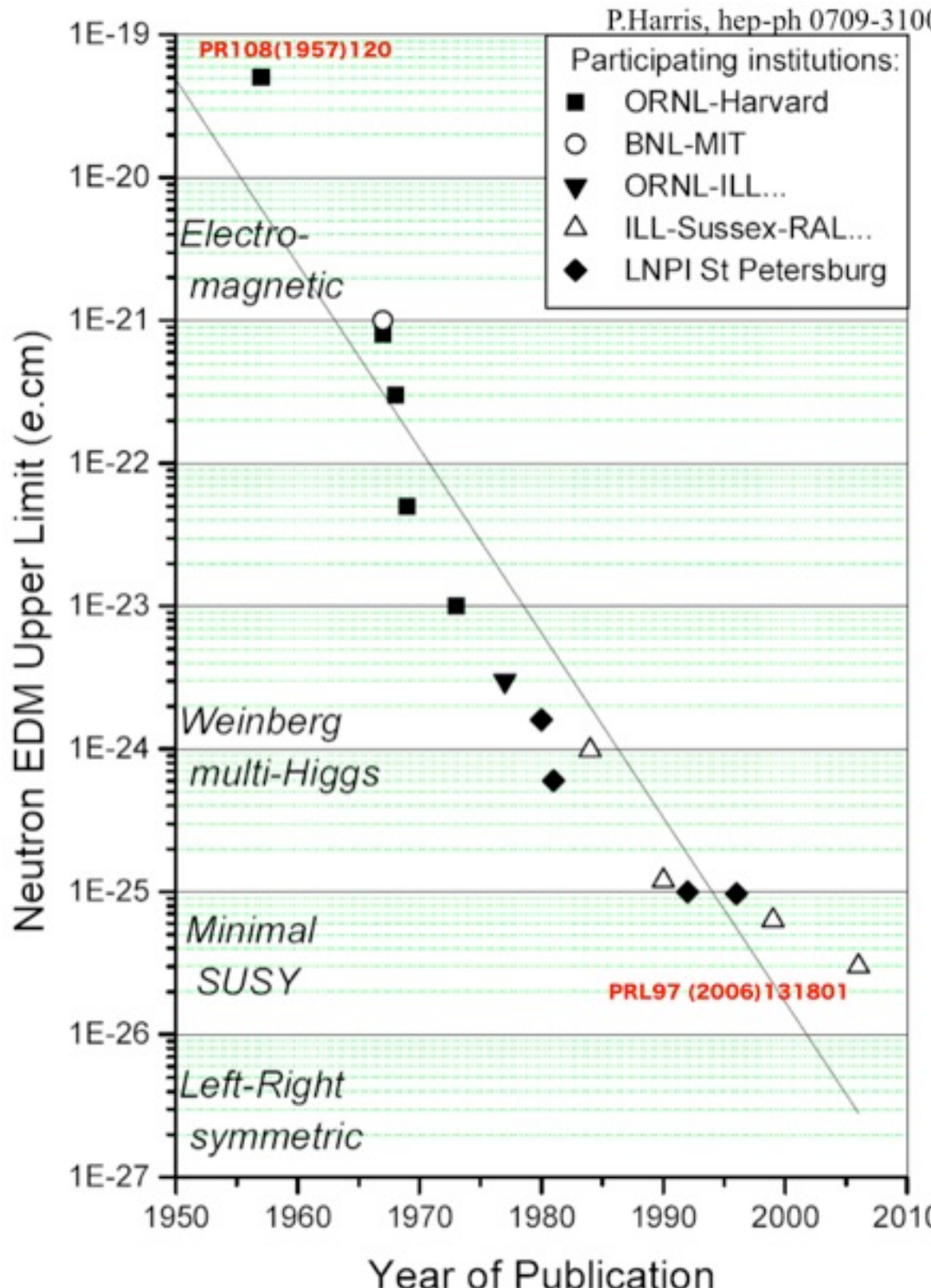


様々な複合系
のEDMを
総合的に理解

Pospelov Ritz, Ann Phys 318 (05) 119



中性子電気双極子モーメント



標準模型では $10^{-32} \text{ e} \cdot \text{cm}$ と観測できないほど小さいが、例えば
SUSY を仮定すると $10^{-27} \text{ e} \cdot \text{cm}$ に値を取りうる

現在の上限値は
 $2.9 \times 10^{-26} \text{ e} \cdot \text{cm}$ と
あと一歩！

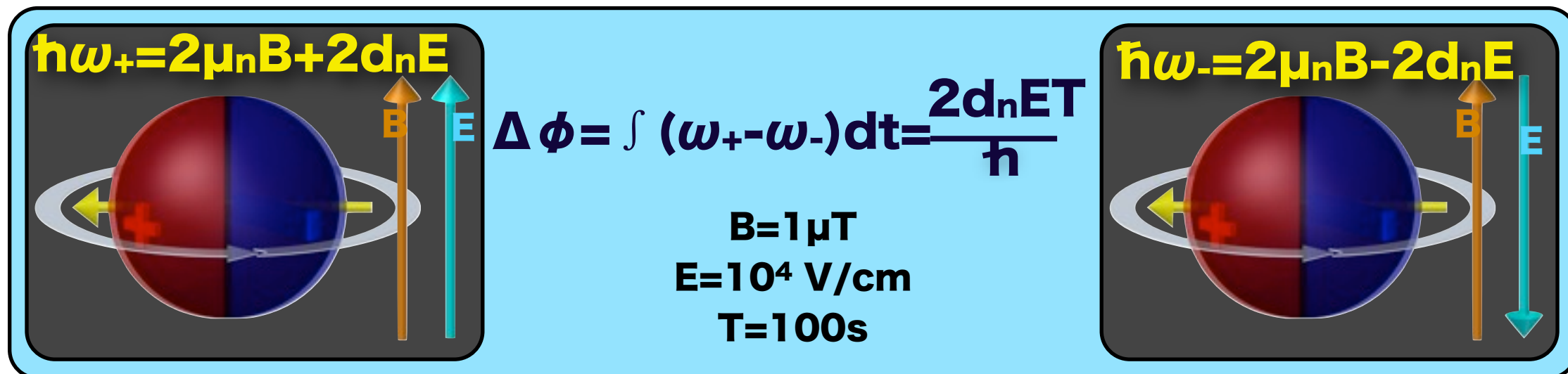
(Baker et al., PRL97 (2006) 131801)



中性子電気双極子モーメント

スピンをそろえた超冷中性子を容器に貯蔵し、電場と磁場を印可し
スピン歳差回転を蓄積し、電場の向きによる回転数の変化を見る。

$$d_n = (+0.2 \pm 1.5(\text{stat}) \pm 0.7(\text{syst})) \times 10^{-26} \text{e} \cdot \text{cm}$$



$$\frac{\omega_{\pm}}{2\pi} = 3 \times 10^1 \frac{B}{1 \mu T} \pm 5 \times 10^{-8} \frac{d_n}{10^{-26} \text{e} \cdot \text{cm}} \frac{E}{10 \text{kV/cm}}$$

magnetic

30 Hz

1 μT

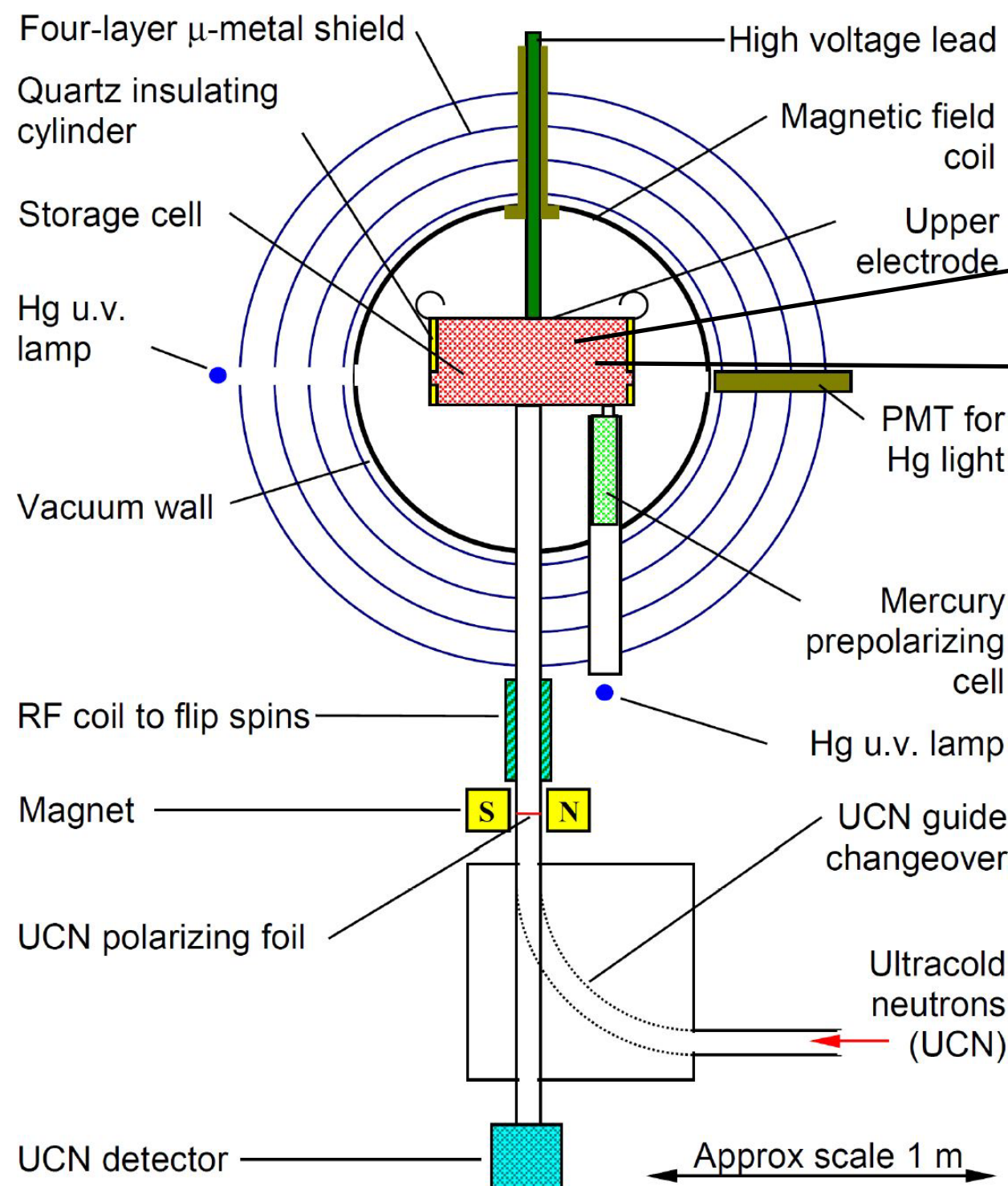
electric

50 nHz

1 fT equiv.

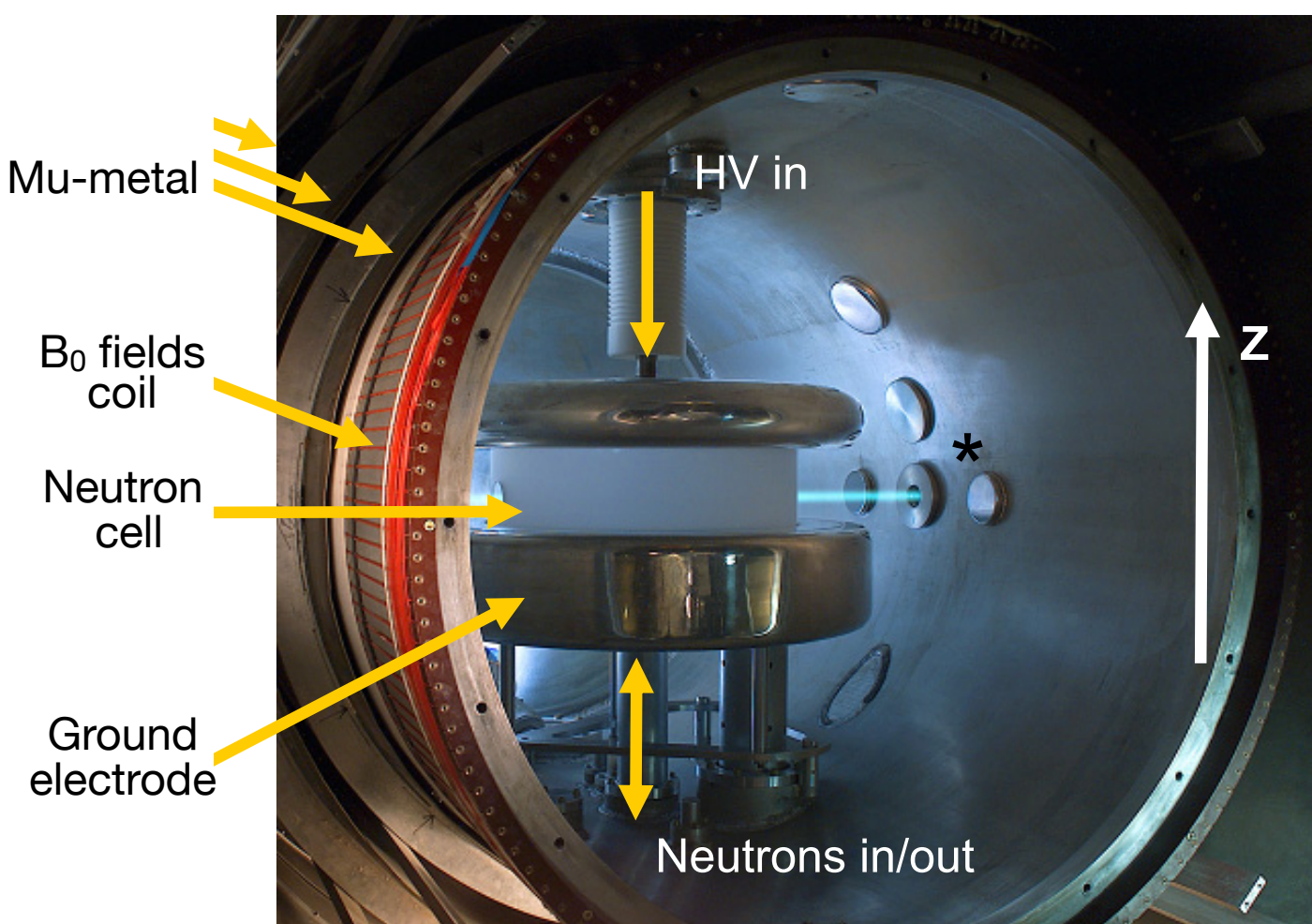


中性子電気双極子モーメント



ILL 実験

n 内部の磁場を測定するために
Hg ガスを入れている



2012年2月27日 KURRI
中性子制御デバイスとその応用V

中性子電気双極子モーメント

これまでの測定の上限
 $< 10^{-26} \text{ e} \cdot \text{cm}$

系統誤差の大きな原因
←電場磁場の精度
(測定精度)

	Effect	Shift	σ at ILL	σ at PSI	σ at J-PARC
					(storage volume 1000 cm ³)
a	Door cavity dipole	-5.6	2.0	0.10	0.036
b	Other dipole fields	0.0	6.0	0.40	0.144
c	Quadrupole difference	-1.3	2.0	0.60	0.216
d	Uncompensated B drift	0.0	2.4	0.90	0.324
e	Leakage currents	0.0	0.1	0.10	0.036
f	$v \times E$ (translational)	0.0	0.03	0.03	0.03
g	$v \times E$ (rotational)	0.0	1.00	0.10	0.10
h	Second-order $v \times E$	0.0	0.02	0.02	0.02
i	ν_{Hg} light shift (geo phase)	3.5	0.8	0.40	0.20
j	ν_{Hg} light shift (direct)	0.0	0.2	0.20	0.072
k	Hg atom EDM	-0.4	0.3	0.06	0.06
l	Electric forces	0.0	0.4	0.40	0.14
m	ac fields	0.0	0.01	0.01	0.01
Total		-3.8	7.2	1.31	0.67

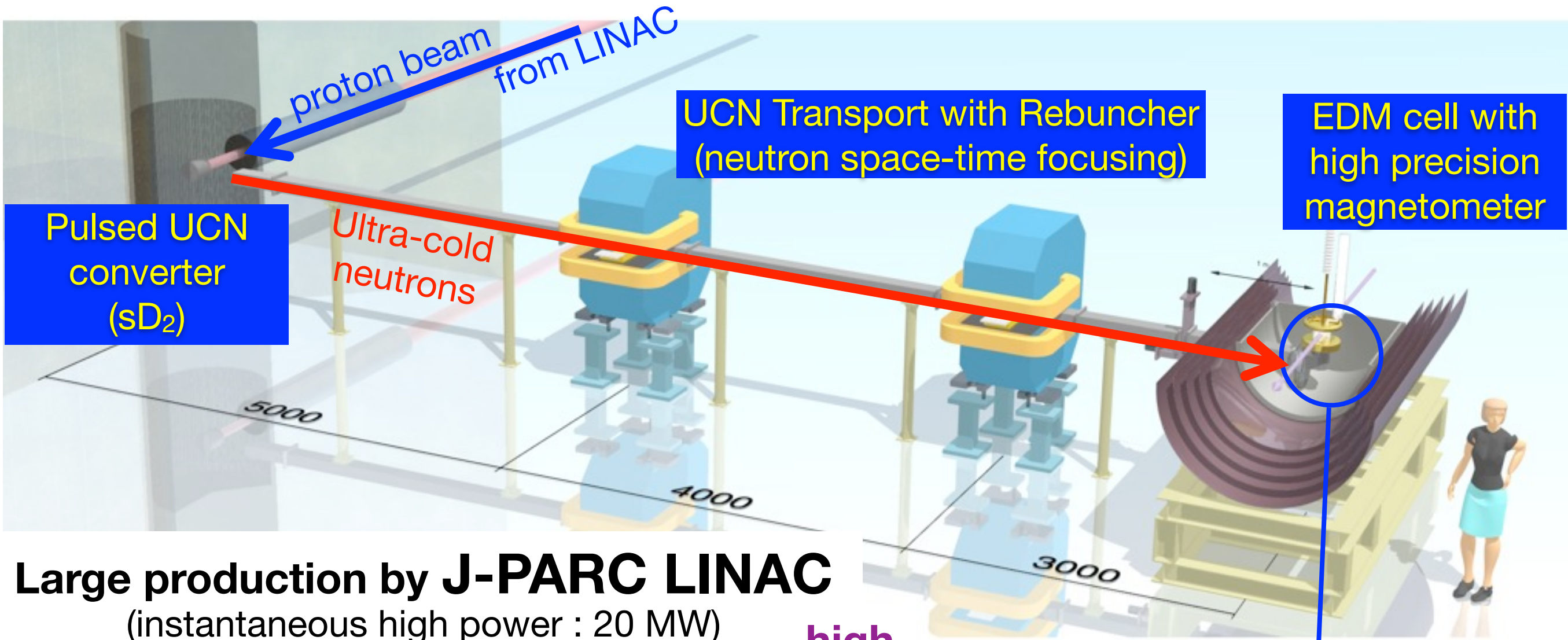
Table 1: Summary of systematic errors ($10^{-27} \text{ e} \cdot \text{cm}$).

磁場測定のための磁束計が UCN 蓄積領域に入れない (近づけてない)
UCN 蓄積領域をなるべく小さくして、なるべく近くで測定する
幾何的な効果を小さくする
統計をあげるために、**UCN の密度を向上する必要がある**

J-PARC に高密度UCN源を



nEDM at J-PARC



Large production by J-PARC LINAC

(instantaneous high power : 20 MW)

+ Transport optics

(focusing with pulsed neutron decelerator)

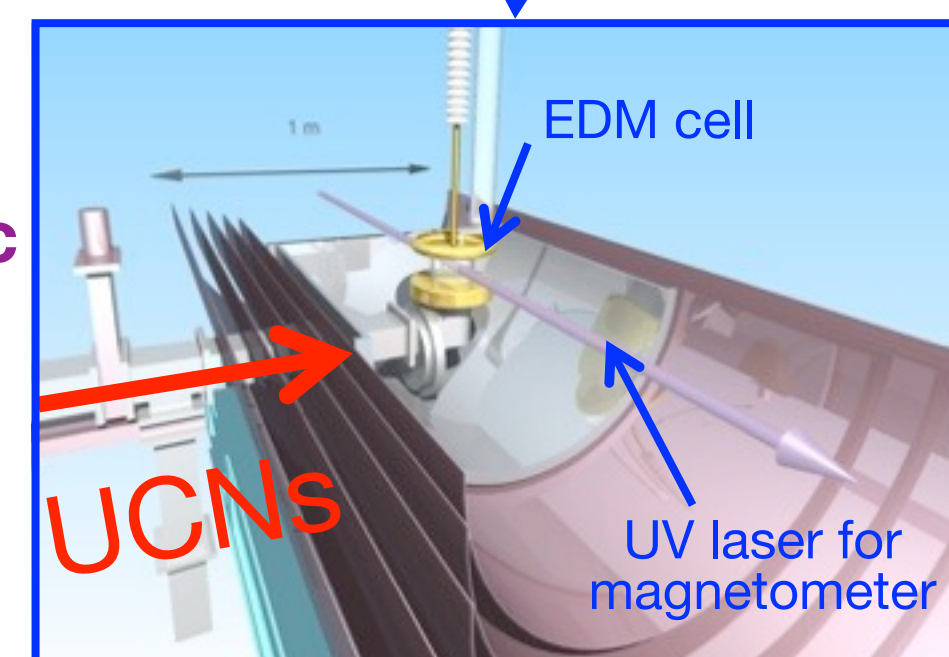
+ High precision measurement (magnetometer using UV laser)

→ **10^{-27} e cm (phase1, 5 years)**

→ **10^{-28} e cm (phase2)**

high density

small systematic errors

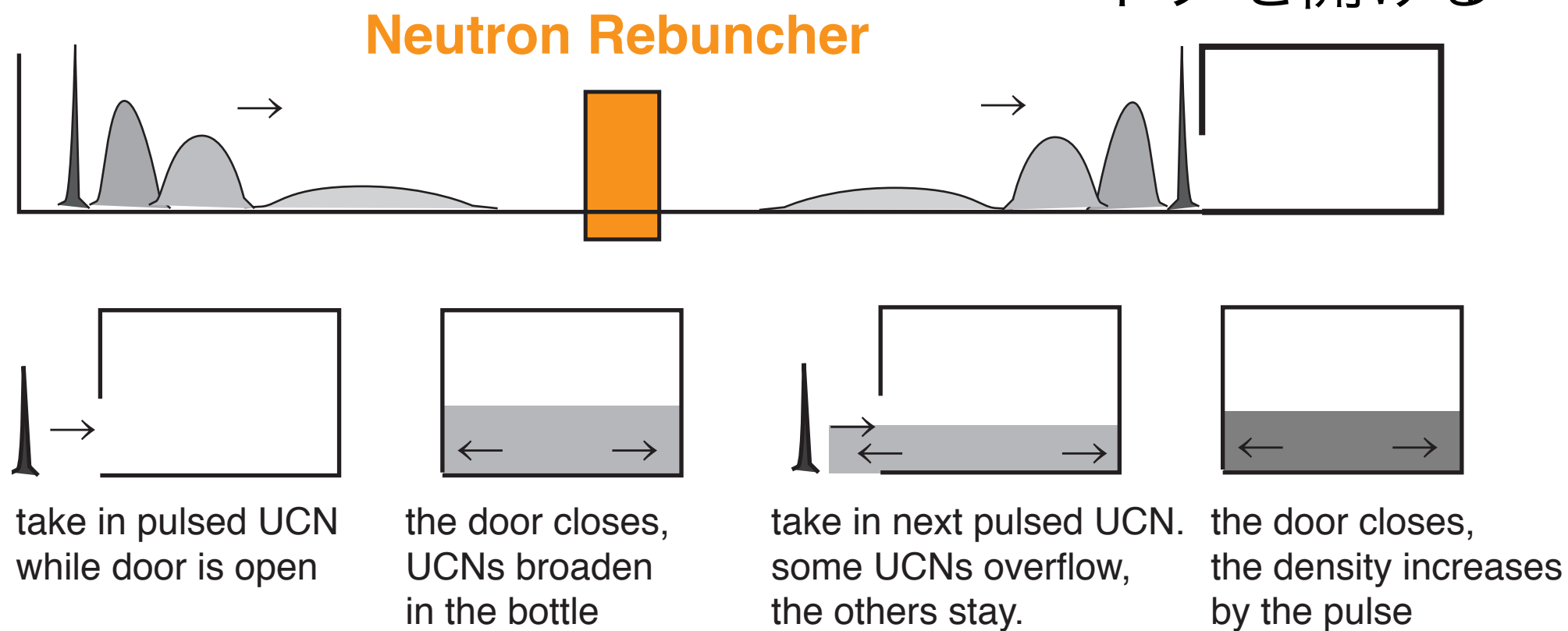


UCN Rebuncher

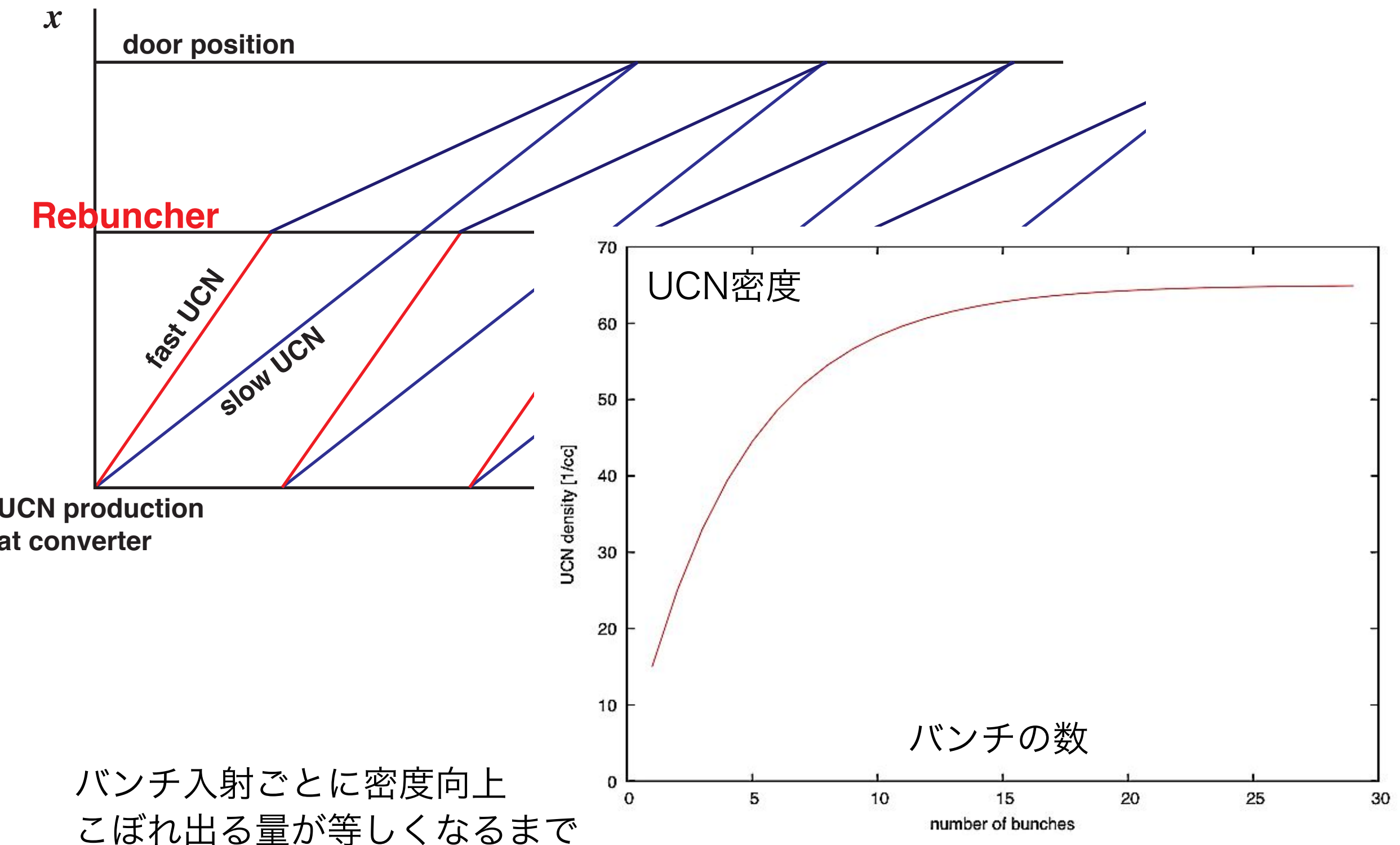
中性子を時間的に集束させるデバイス

パルス状に発生するが、単純に取り出すと
輸送の間に広がってしまう

パルスが来たときだけ
ドアを開ける



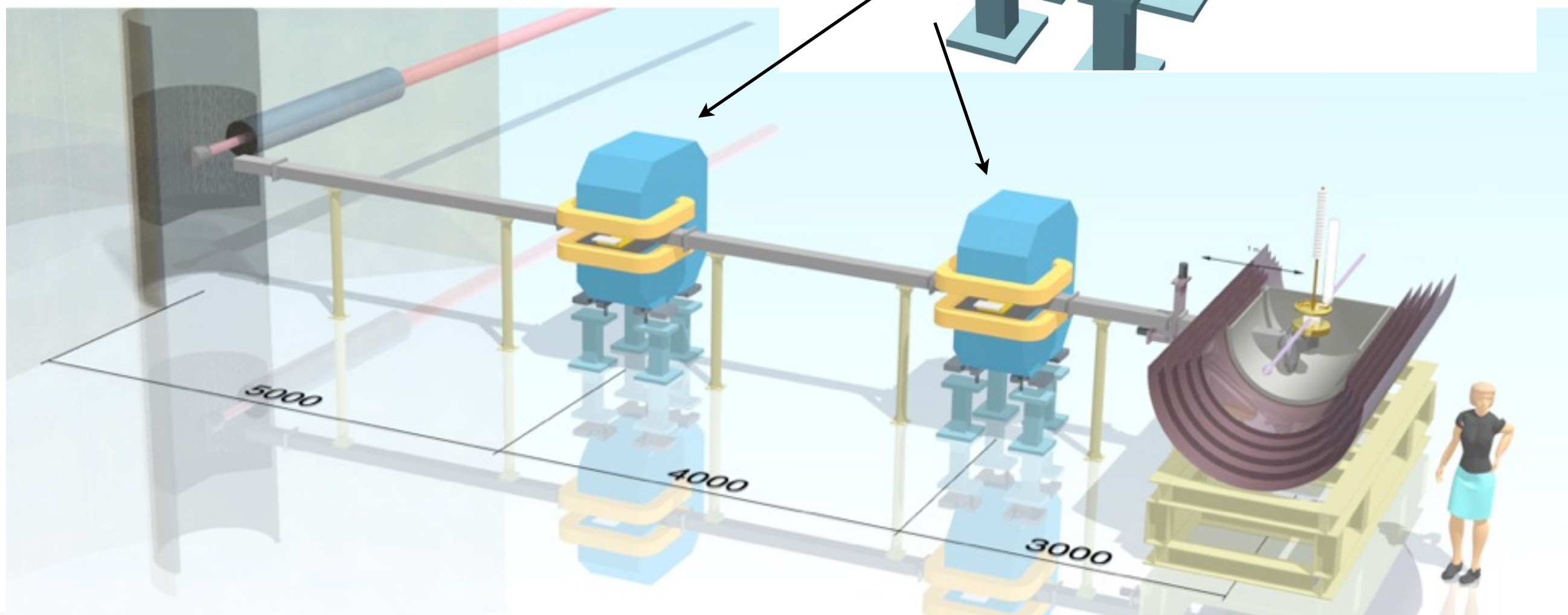
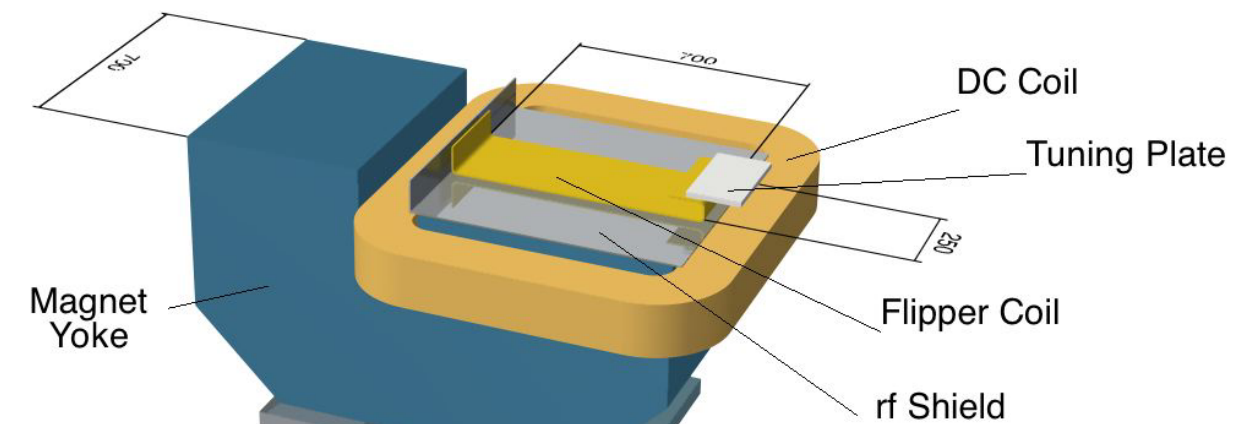
UCN Rebuncher



UCN Rebuncher

AFP spin flipper

静磁場と共に鳴条件を満たすRF磁場を通過すると、スピンが反転し、エネルギーを交換する

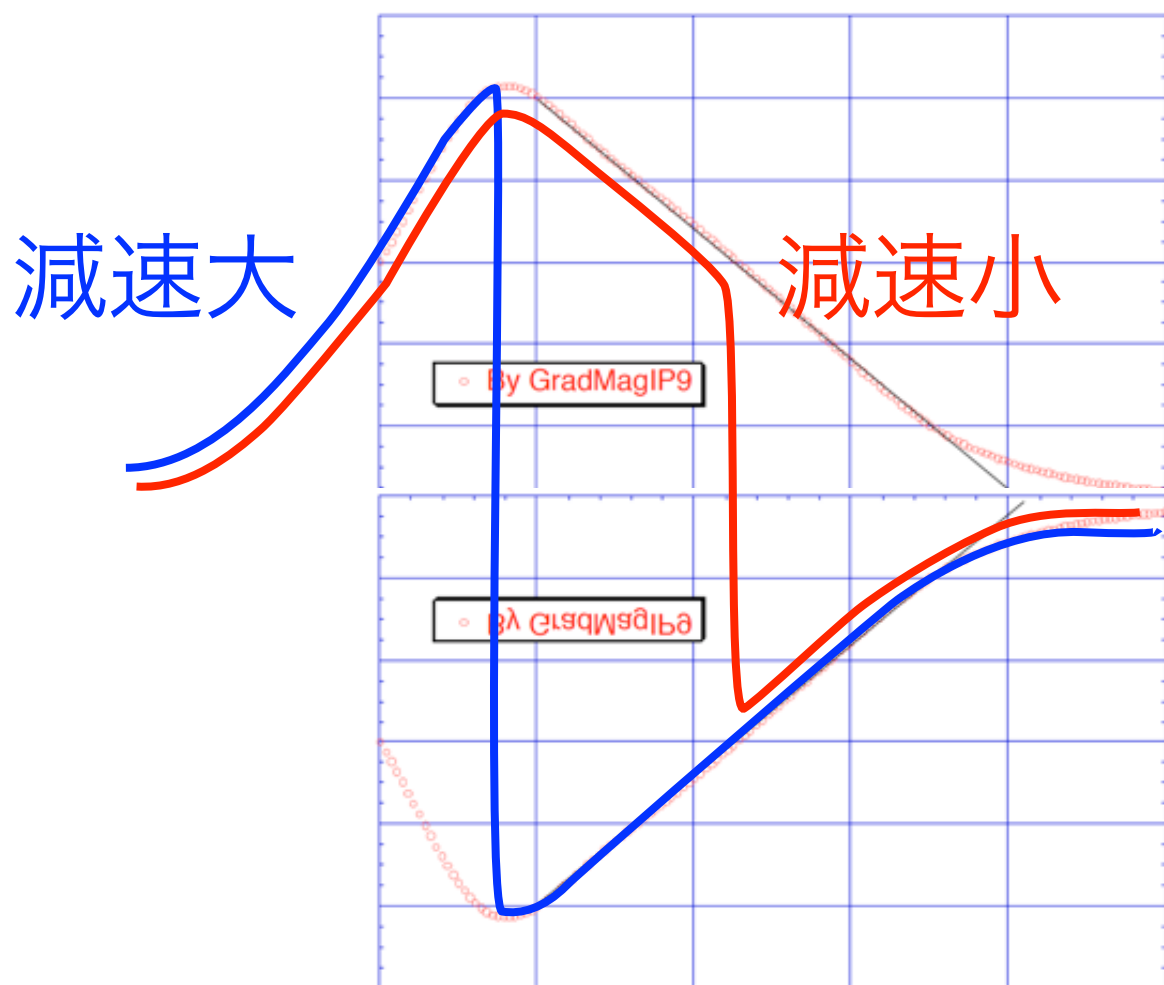


UCN Rebuncher

AFP spin flipper

静磁場と共に鳴条件を満たすRF磁場を通過すると、スピンが反転し、エネルギーを交換する

交換されるエネルギーは周波数に比例



速い中性子は先にrebuncherに到達

減速量大 = 高周波

遅い中性子は遅れてrebuncherに到達

減速量小 = 低周波

時間に応じて
周波数を変化させる

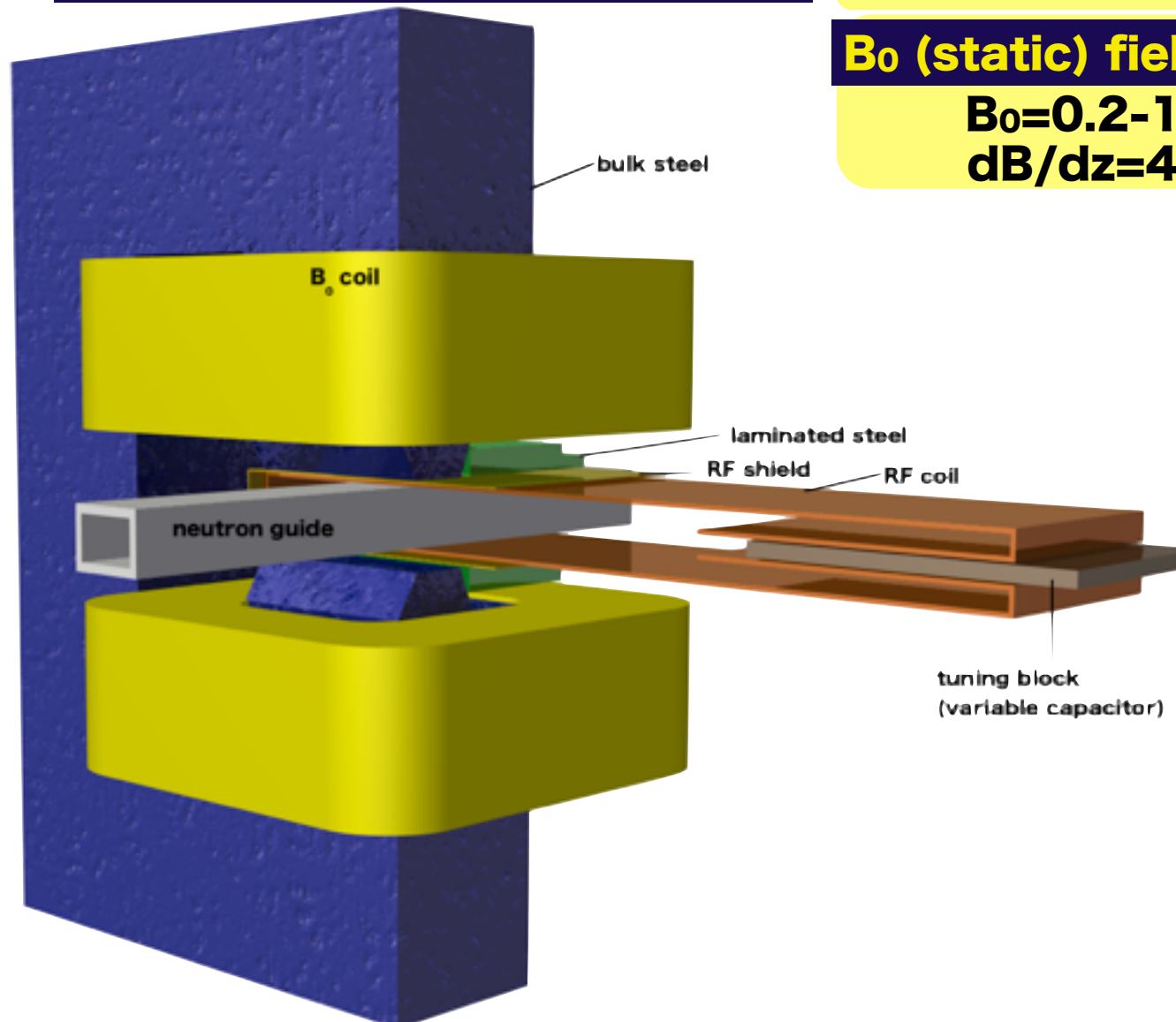


UCN Rebuncher

$\phi = 1.2 \text{ cm}^{-3} (\text{m/s})^{-3}$ (2Hz)

30% rebuncher design was finished in Jun. 2010

prototype rebuncher



$4 < v < 7.2 \text{ m/s}$, $L_{\text{focus}} = 12 \text{ m}$ repetition=2Hz

B₀ (static) field

$$B_0 = 0.2 - 1.0 \text{ T} \quad (0 < z < 0.25 \text{ m})$$
$$\frac{dB}{dz} = 4 \text{ T/m}$$

B₁ (RF) field

$$\omega / 2\pi = 6 - 30 \text{ MHz}$$
$$B_1 = 1 \text{ mT}$$

Adiabaticity

$$K^2 = \frac{\omega_{\text{Larmor}}}{\omega_B} = \frac{\gamma_n B_1^2}{v_n (\partial B / \partial z)} \geq 6.5 \quad (v_n \leq 7.2 \text{ m/s})$$

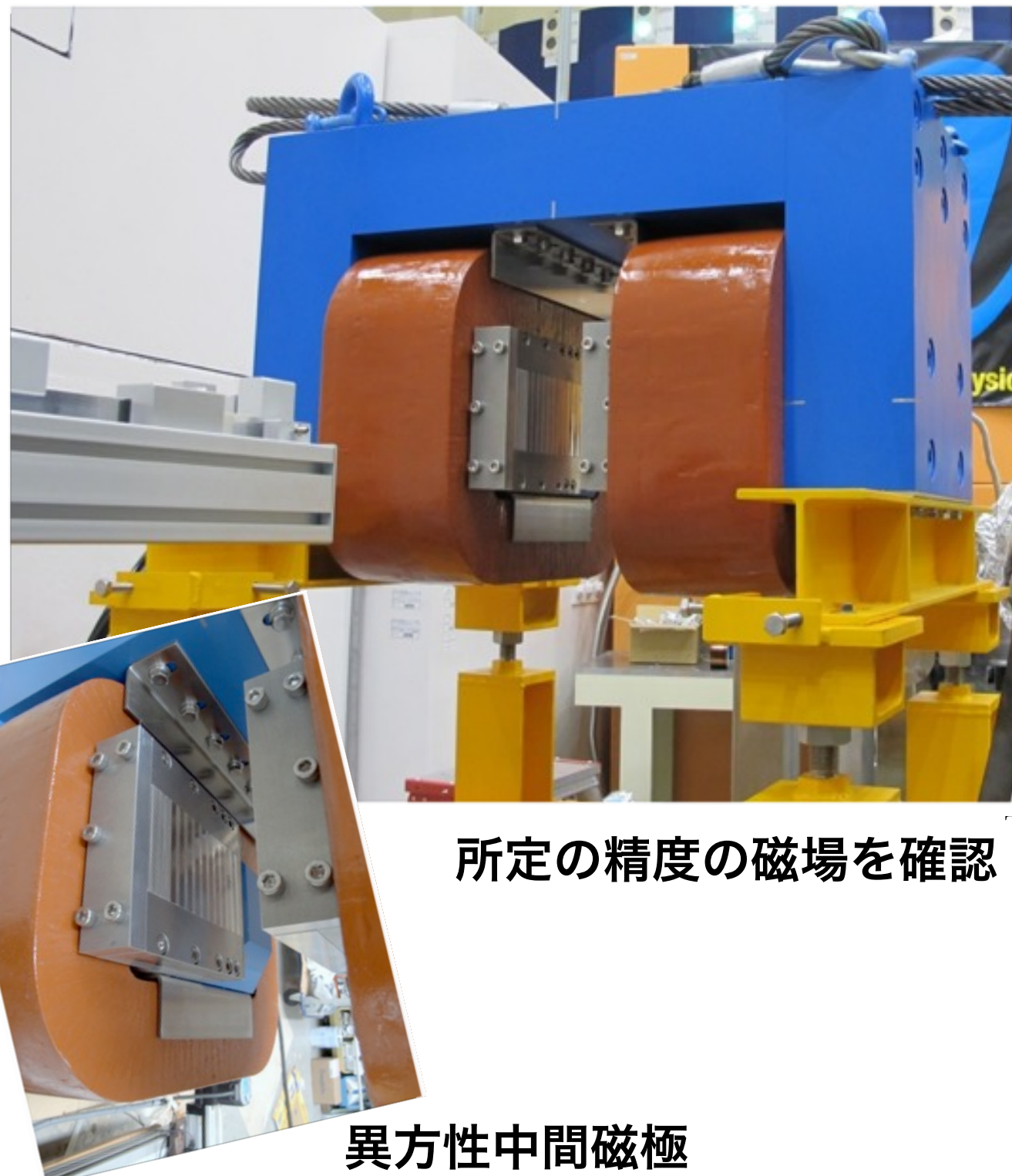
adiabatic condition is sufficiently fulfilled to deliver the spin flip efficiency of 0.99
(NIMA369(1996)195)

improved version is under study



UCN Rebuncher

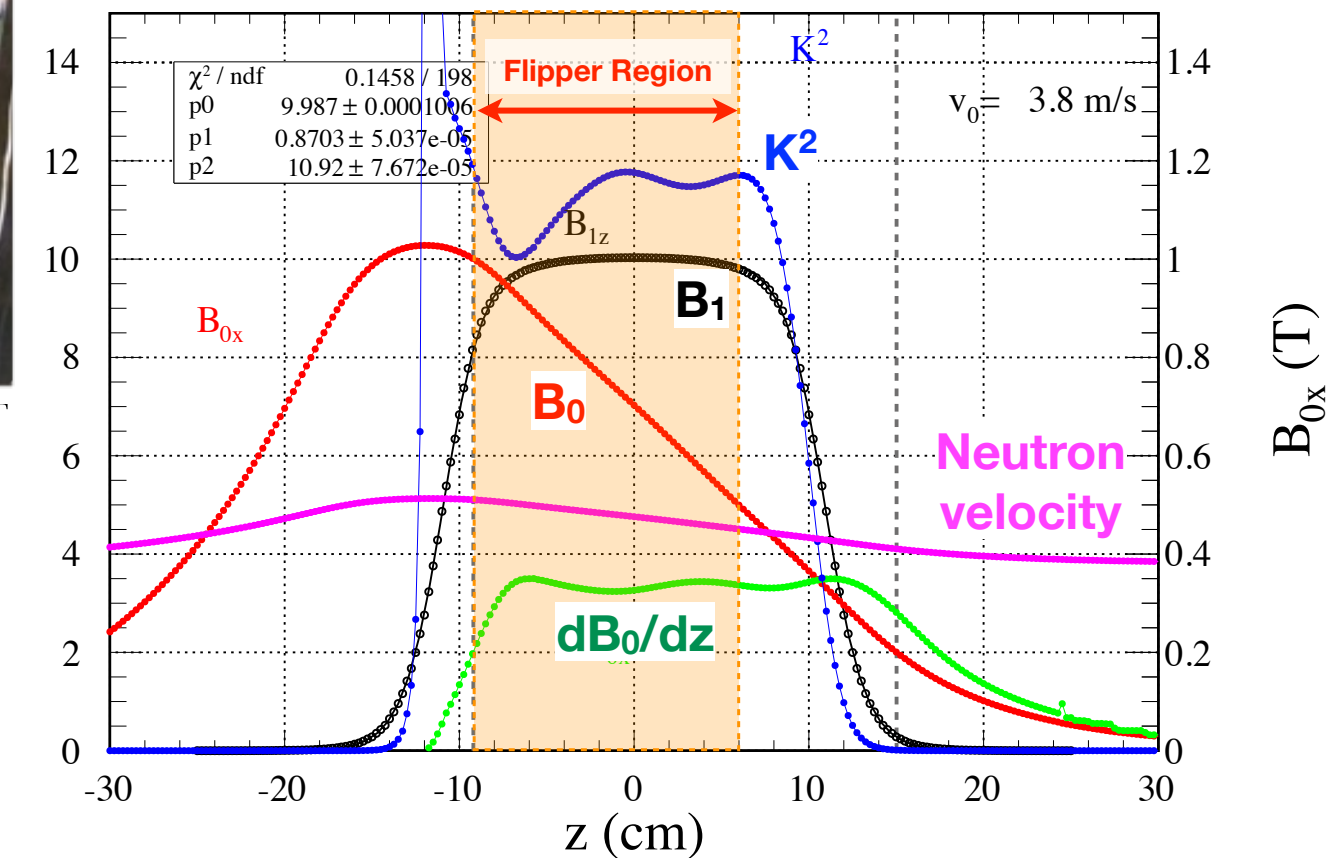
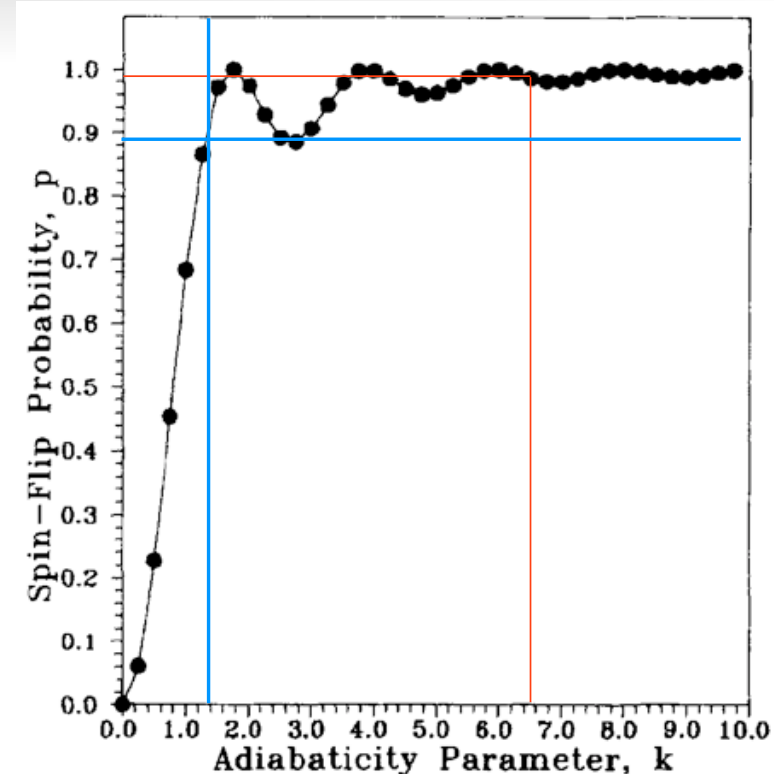
実証機



所定の精度の磁場を確認

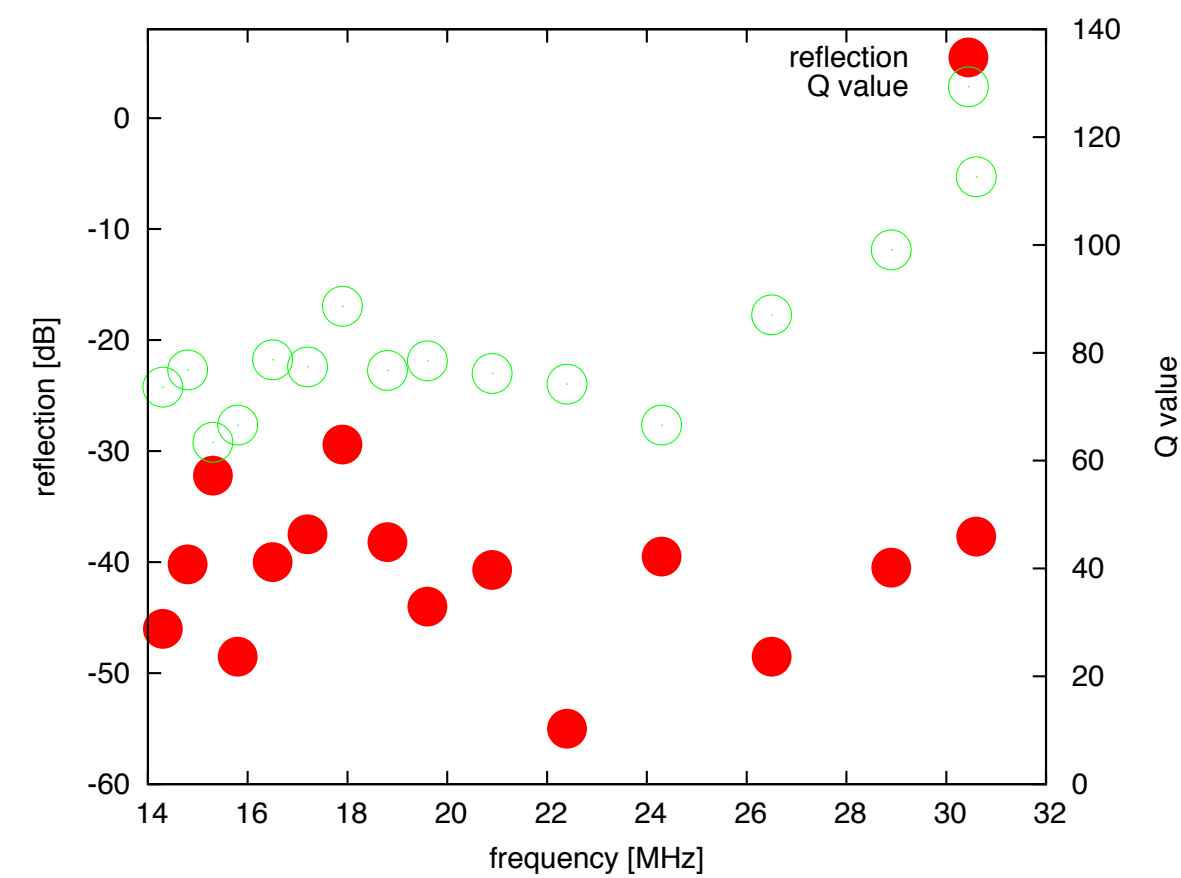
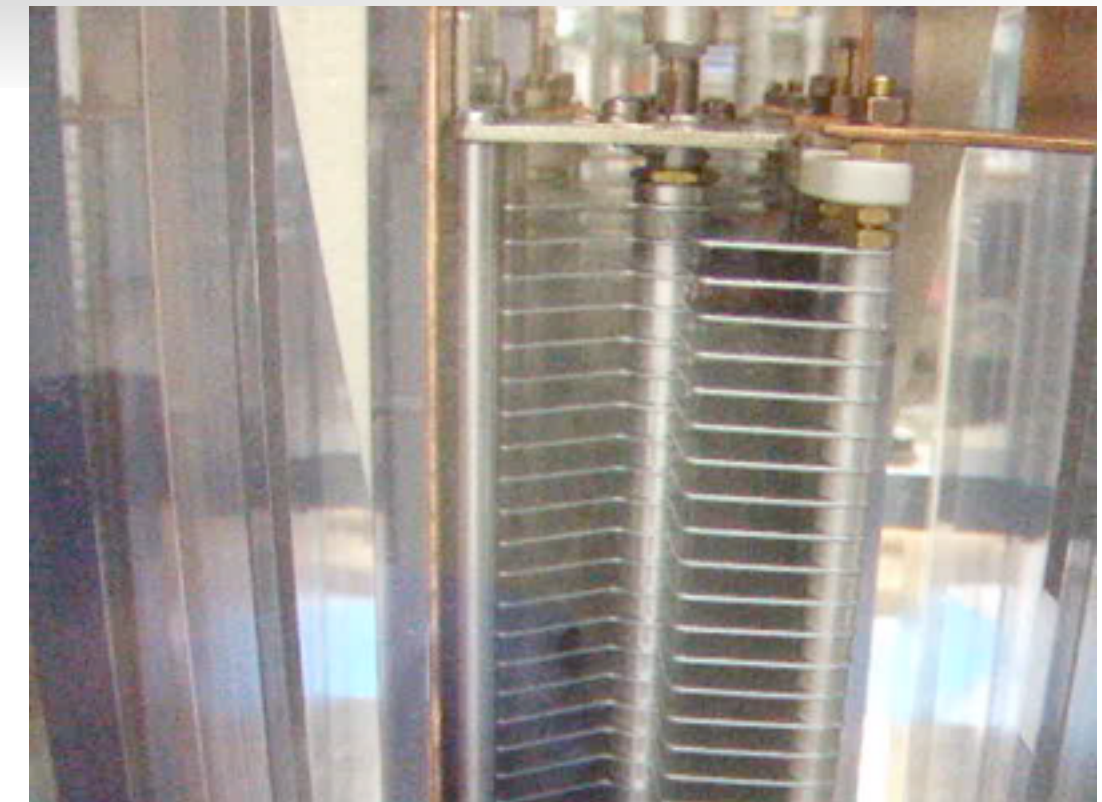
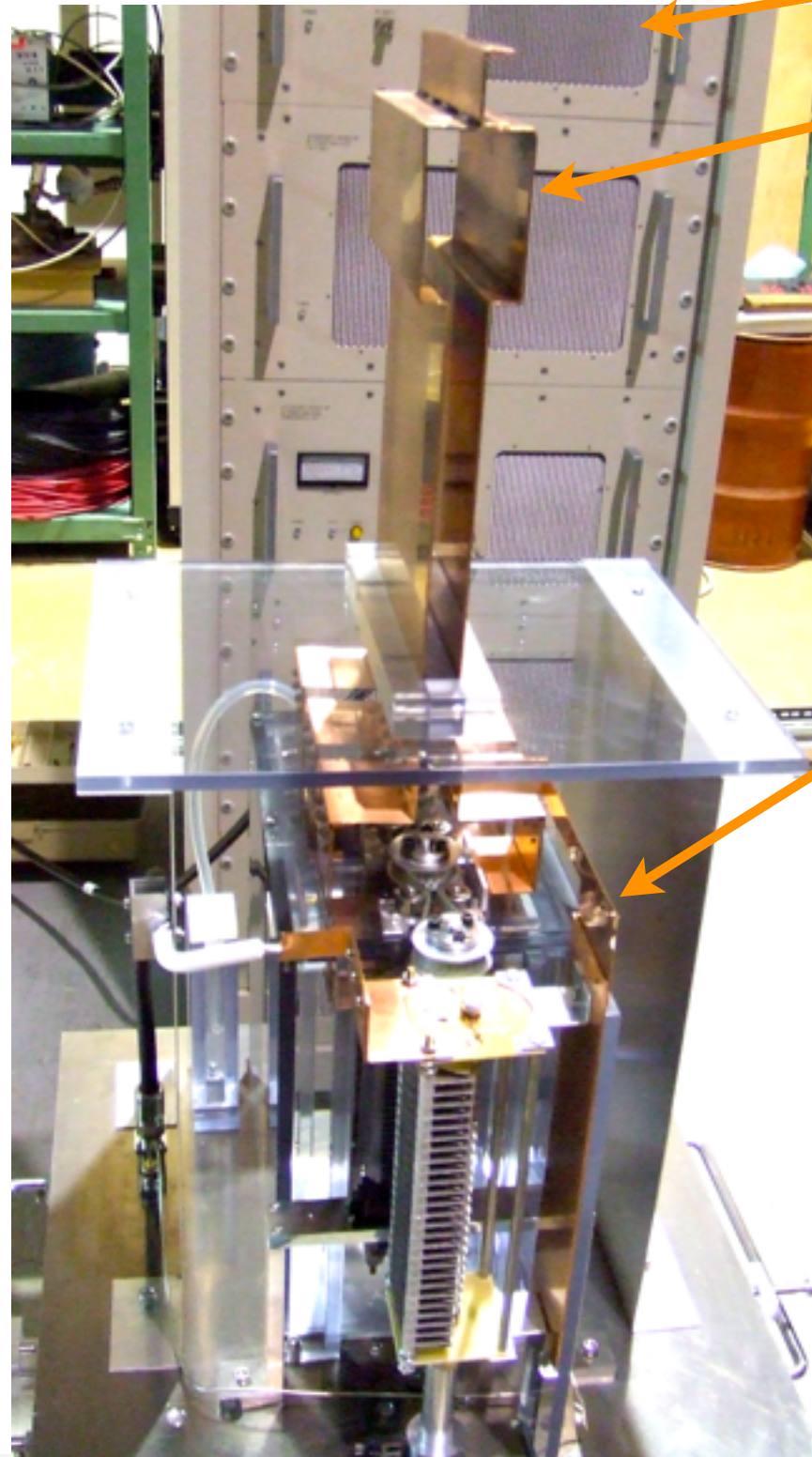
異方性中間磁極

$$K^2 = \frac{\omega_{\text{Larmo}}}{\omega_B} = \frac{\gamma_n B_1^2}{v_n \partial B_0 / \partial z}$$



UCN Rebuncher

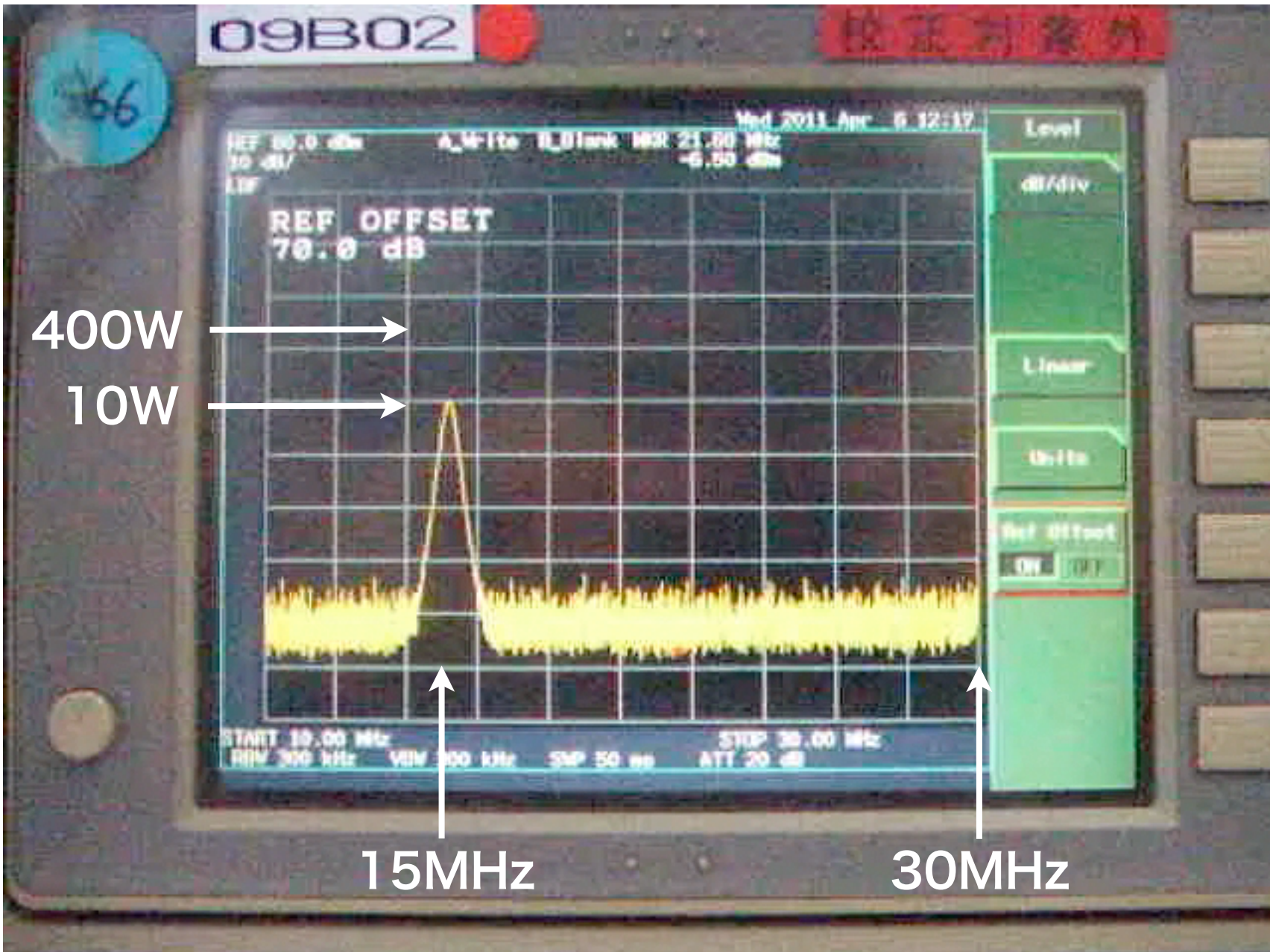
実証機



2012年2月27日 KURRI
中性子制御デバイスとその応用V

UCN Rebuncher

実証機



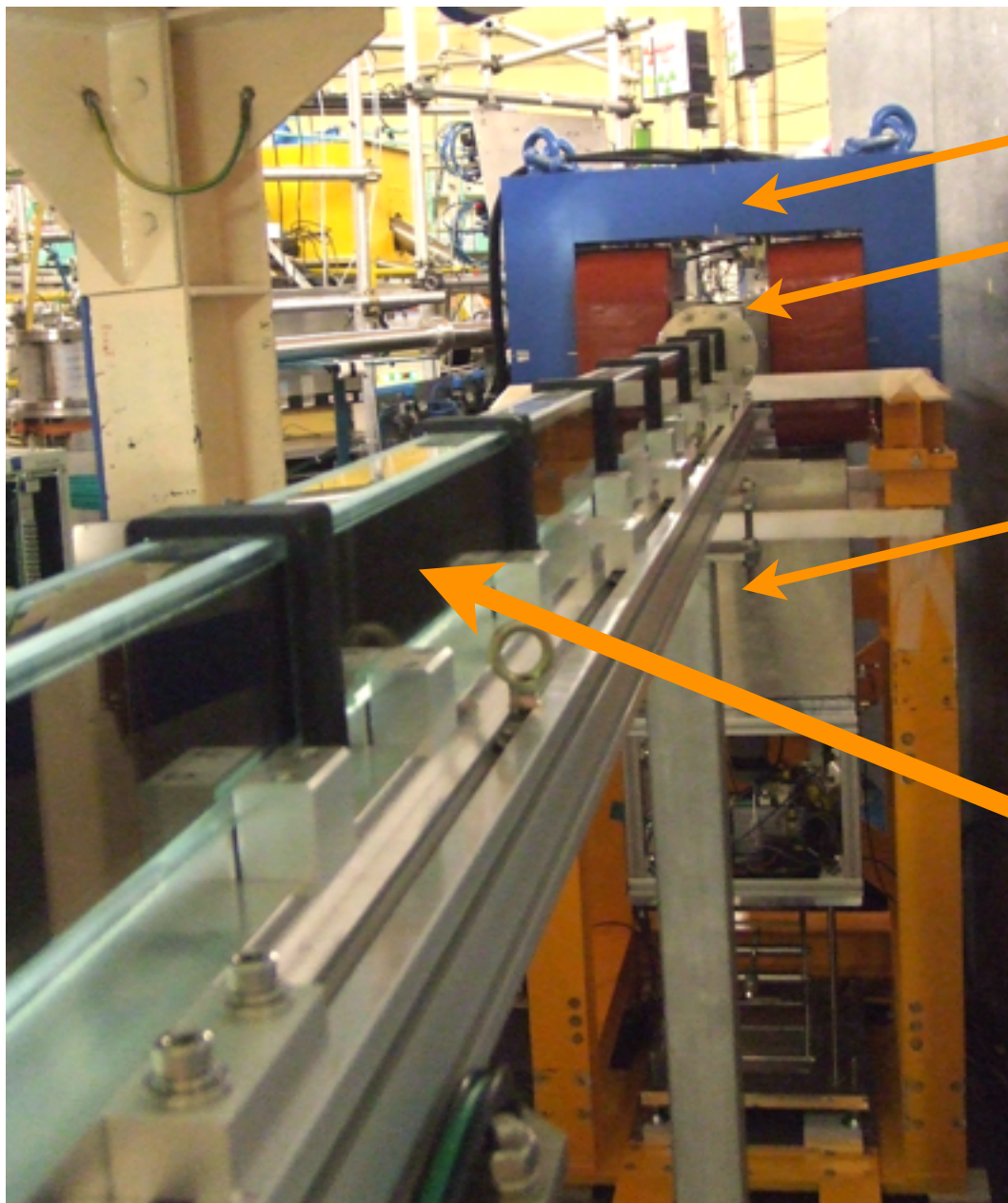
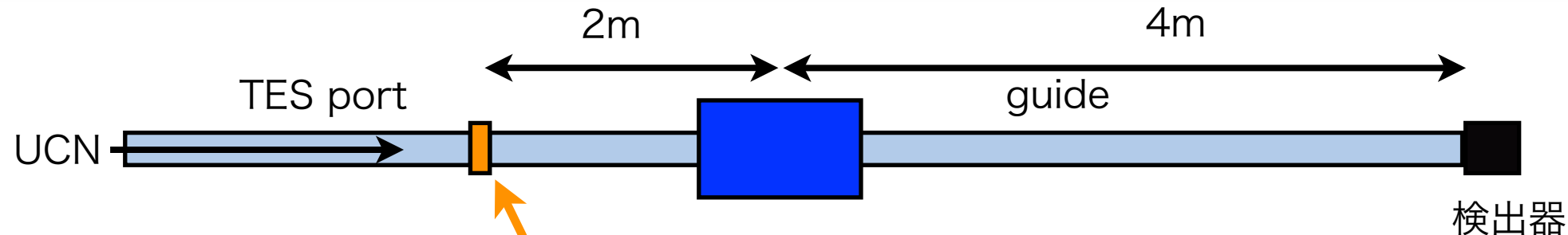
400W投入、15MHz-31MHzにわたって連続的にパワーが入っている



UCN Rebuncher

実証実験

@ILL



電磁石
RFコイル

0.2秒open
(開閉時間 0.1秒)

共振回路

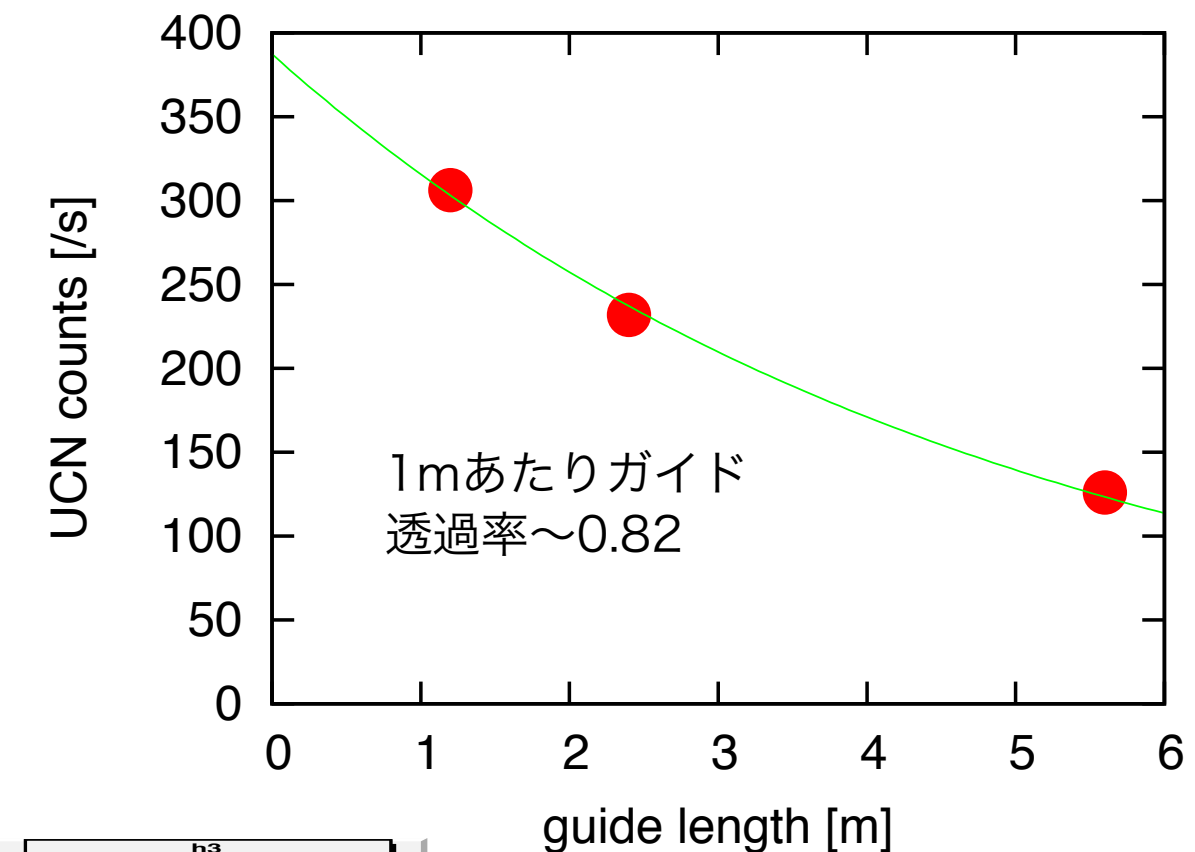
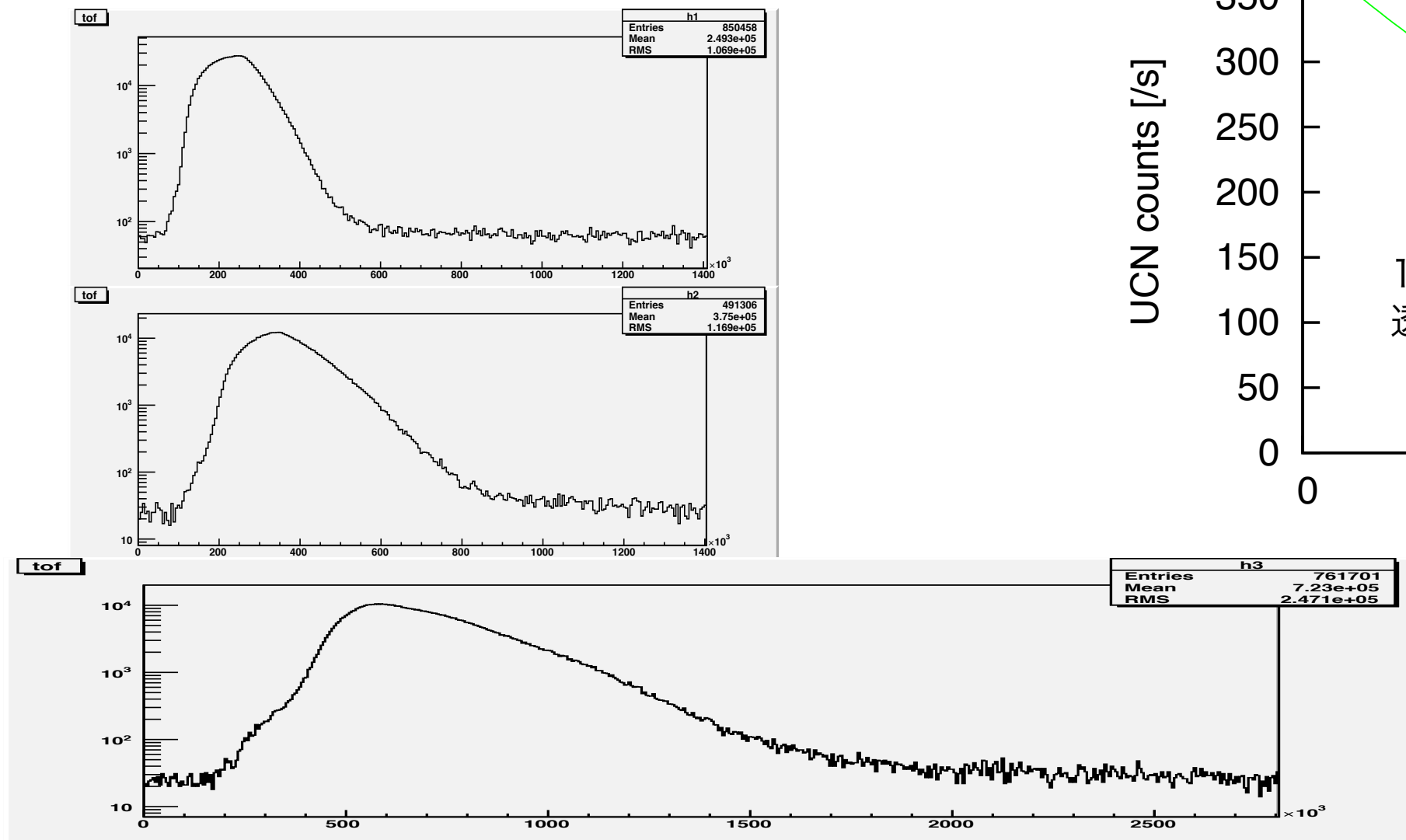
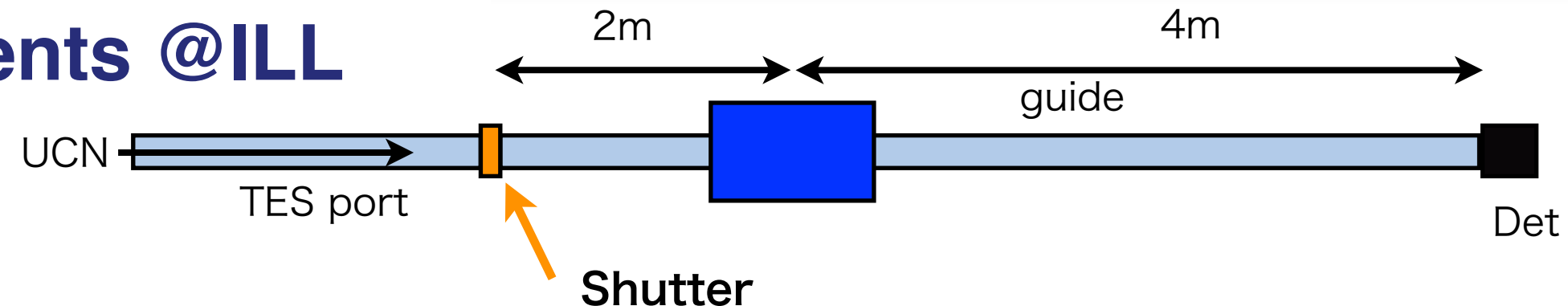
Ni ガイド管

ILL原子炉から得られるUCNを
シャッターでパルス化し、
導管の透過特性、Rebuncherの
加減速性能を確認する



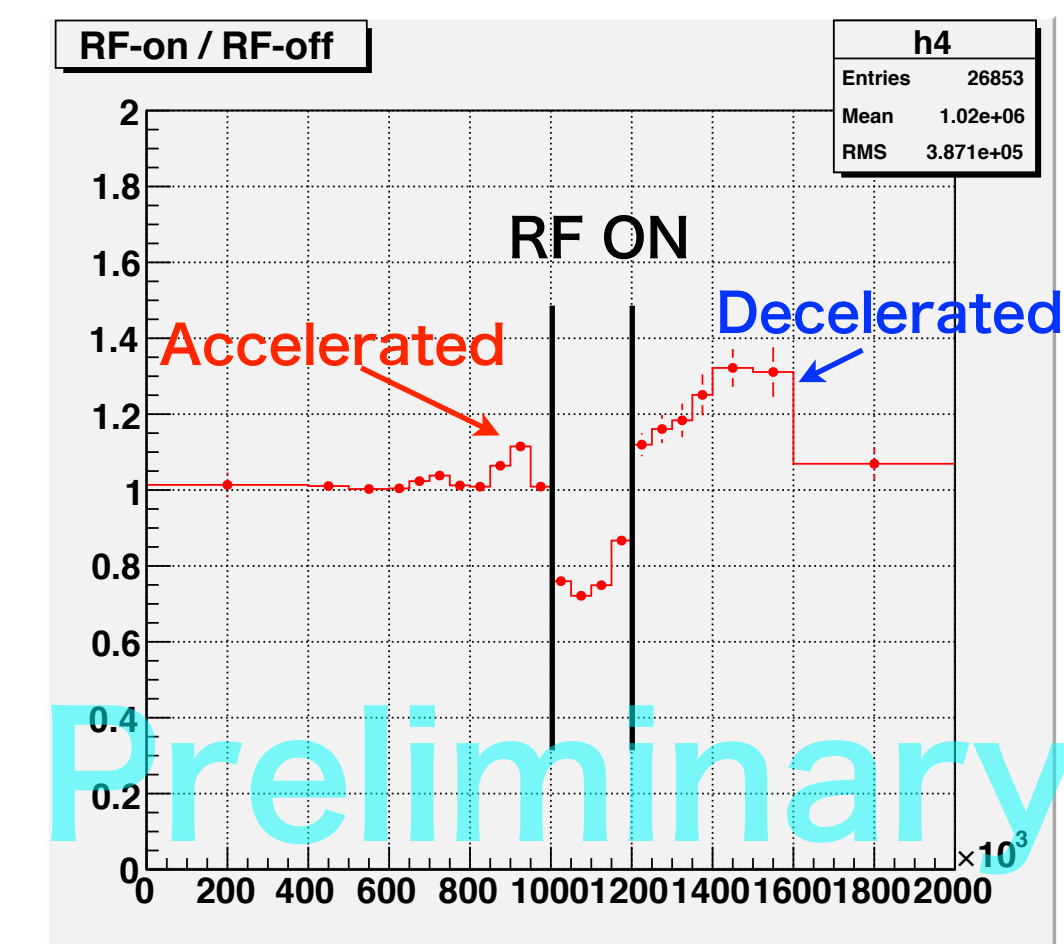
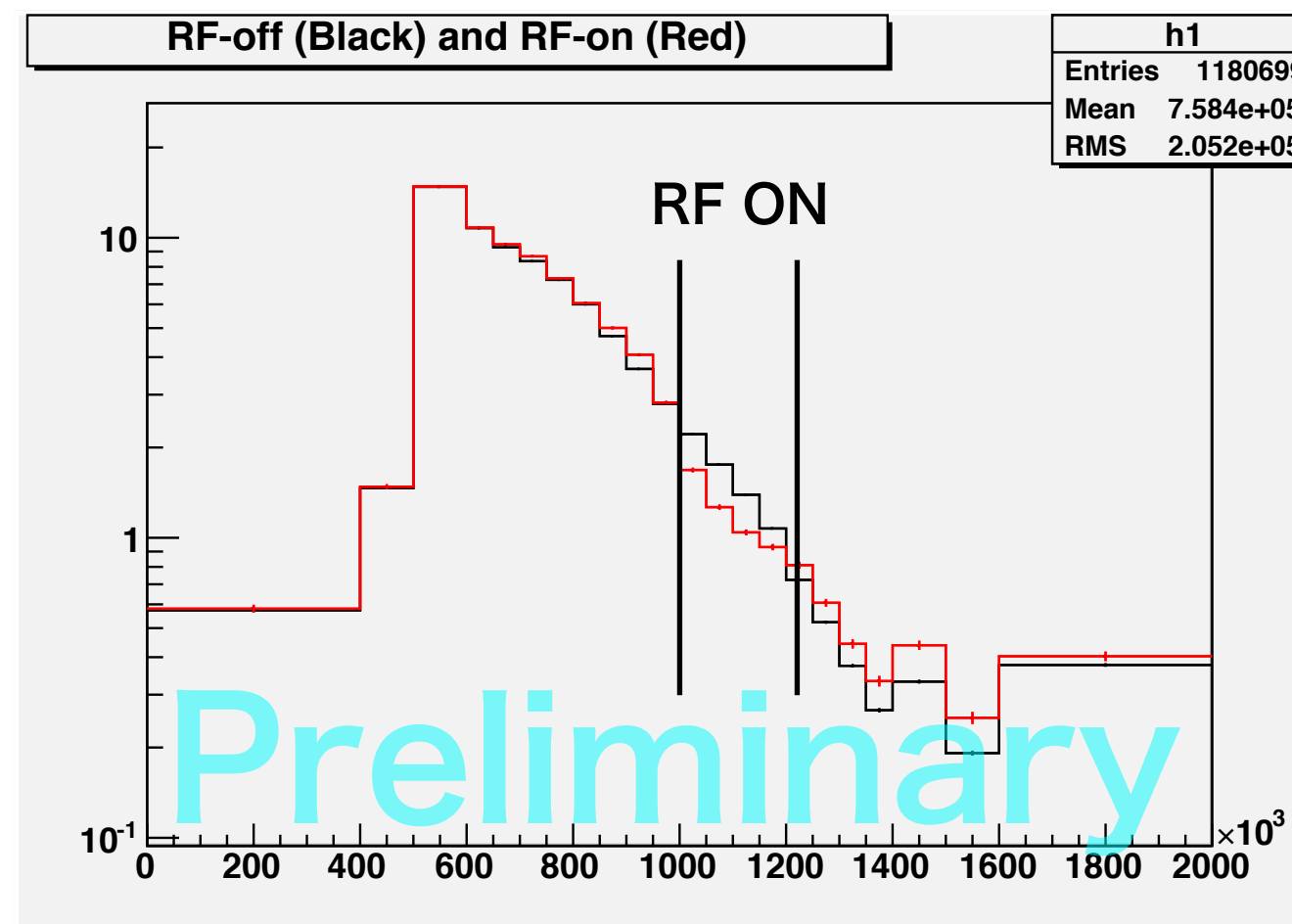
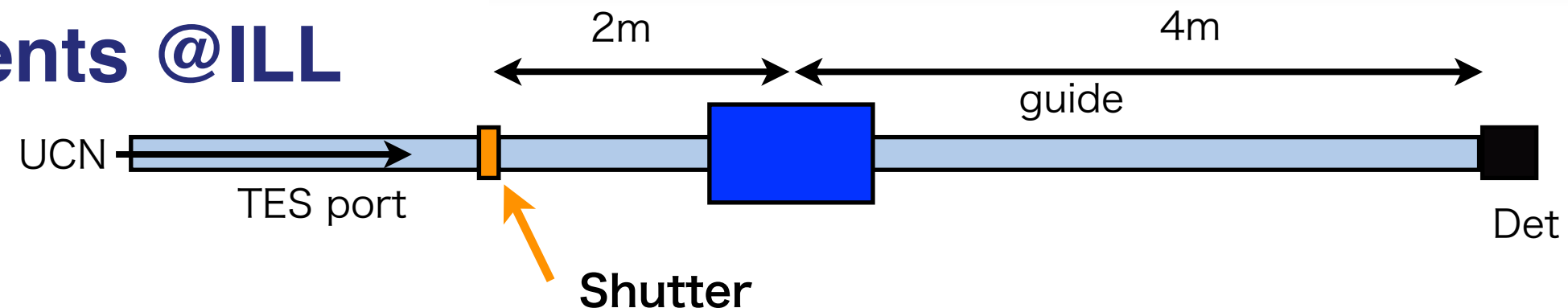
UCN Rebuncher

Test experiments @ILL



UCN Rebuncher

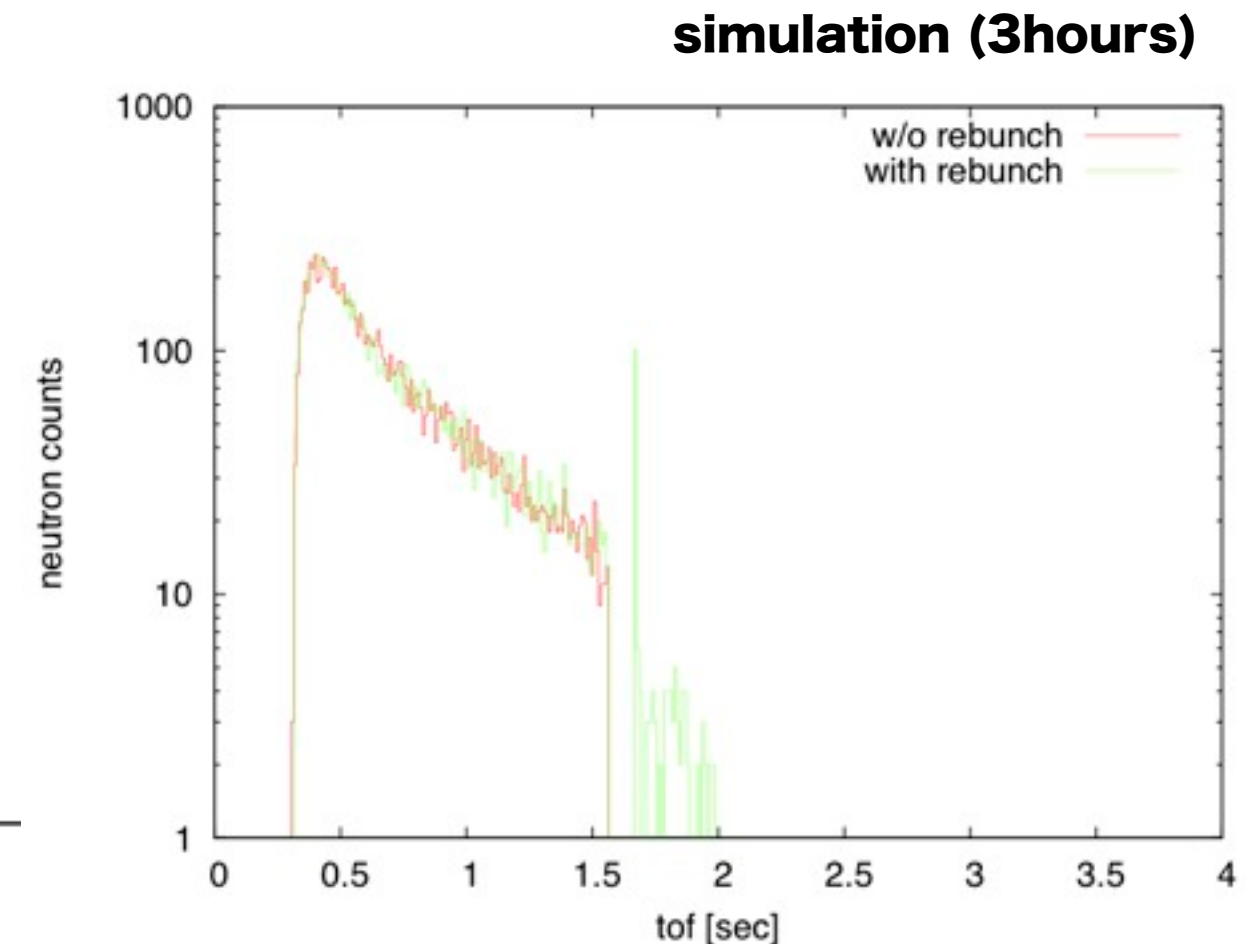
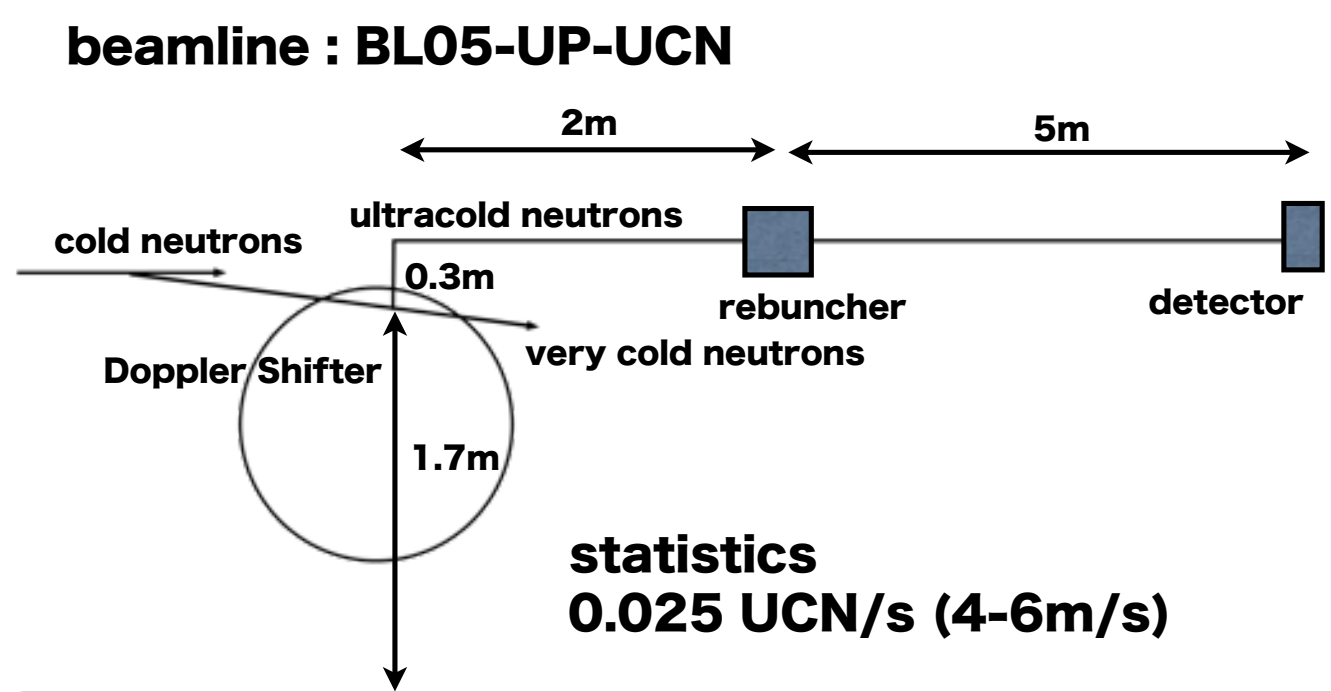
Test experiments @ILL



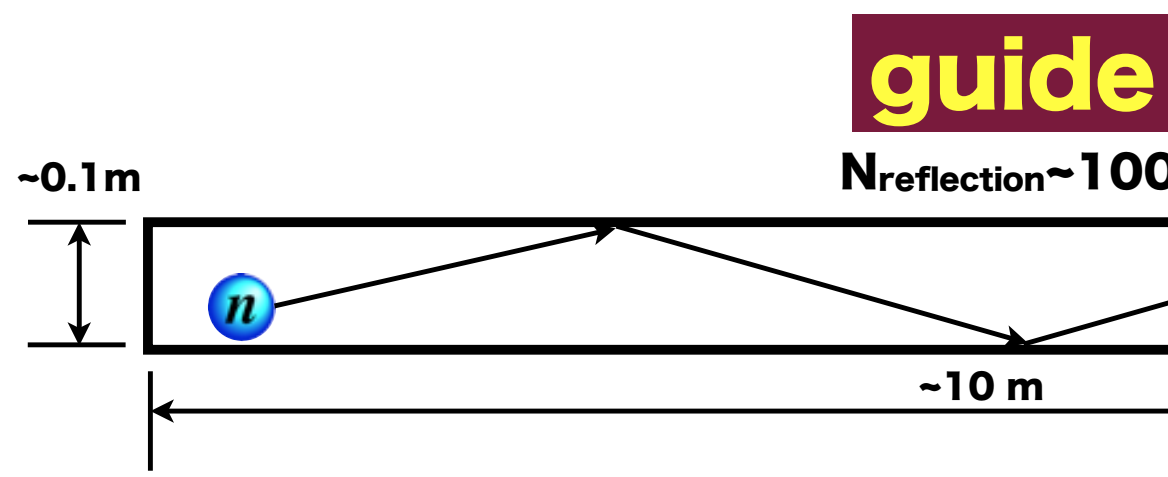
2012年2月27日 KURRI
中性子制御デバイスとその応用V

UCN Rebuncher

RF振幅増大 (3kW アンプ使用、RF表皮効果利用)
シャッターをドップラーシフター直上に



表面精度の制御が重要
確認開発進行中



**low reflection loss preferred
for larger transmission**

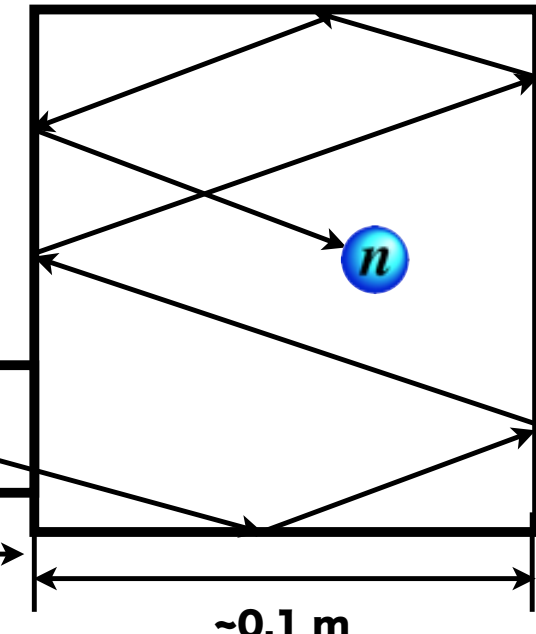
$$1 - R < 10^{-3}$$

**“specular” reflection preferred
for smoother transmission**

$$R_{\text{non-specular}} < 10^{-3}$$

measurement cell

$$T=100\text{s} (\tau \sim 50\text{s}) \longrightarrow N_{\text{reflection}} \sim 30 \times 50$$



**low reflection loss preferred
for longer storage time**

$$1 - R < 10^{-3}$$

**“non-specular” reflection preferred
for suppressing collective motion**

$$R_{\text{non-specular}} \sim 10^{-1}$$



輸送系

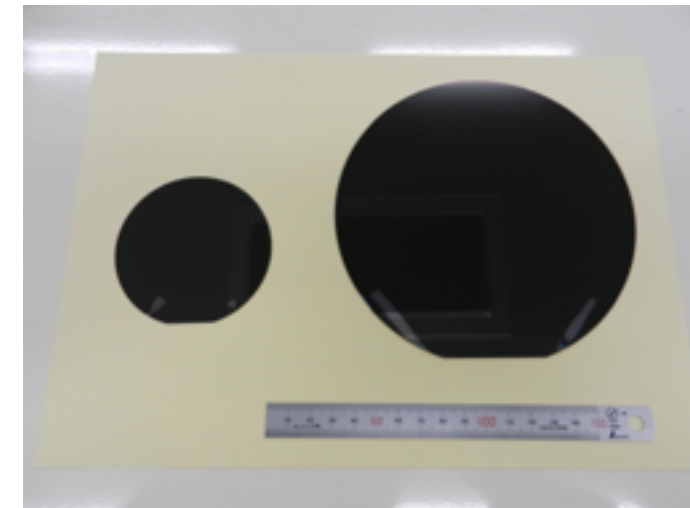
UCN導管及び蓄積容器材料選定のための物質表面の研究



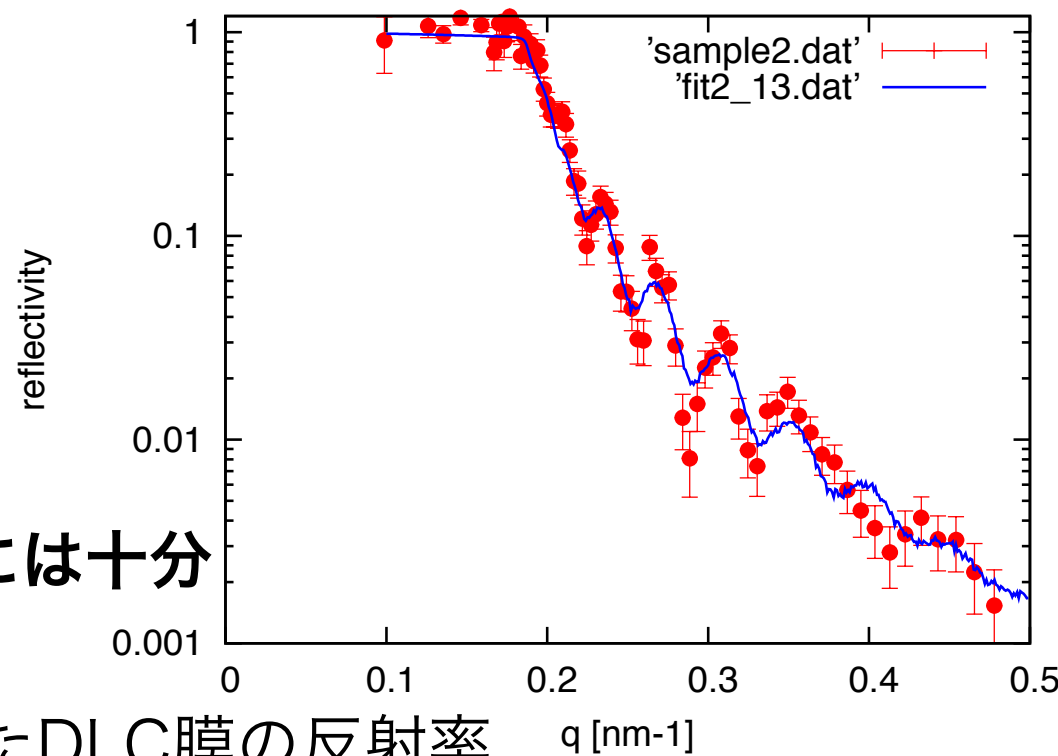
J-PARC MLF BL05に測定法を確率

中性子に対するポテンシャル～190 neV
EDM測定に利用されるUCNを反射するには十分

KURで測定したDLC膜の反射率

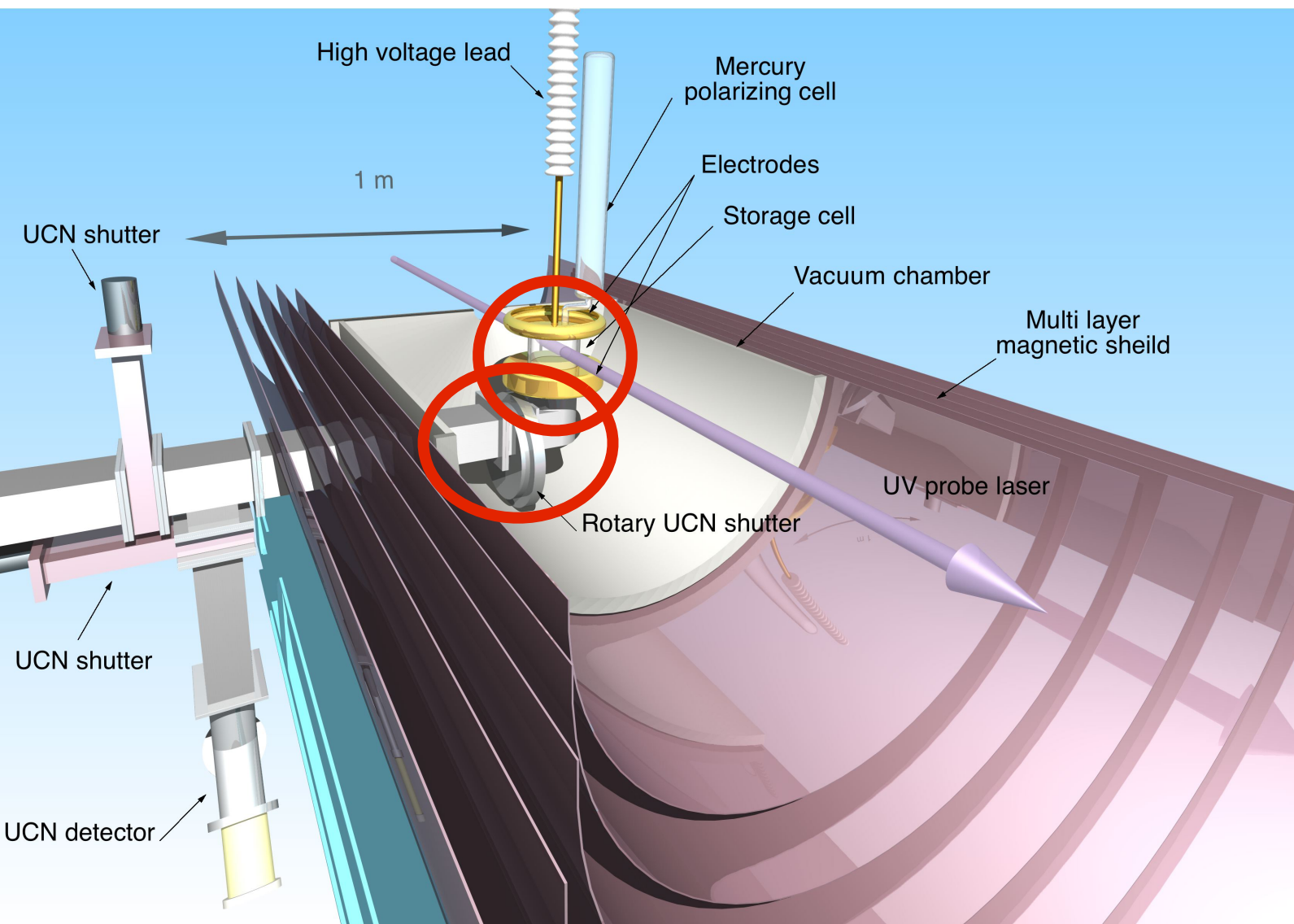


DLC製膜装置(左)及び作製したDLC試料片

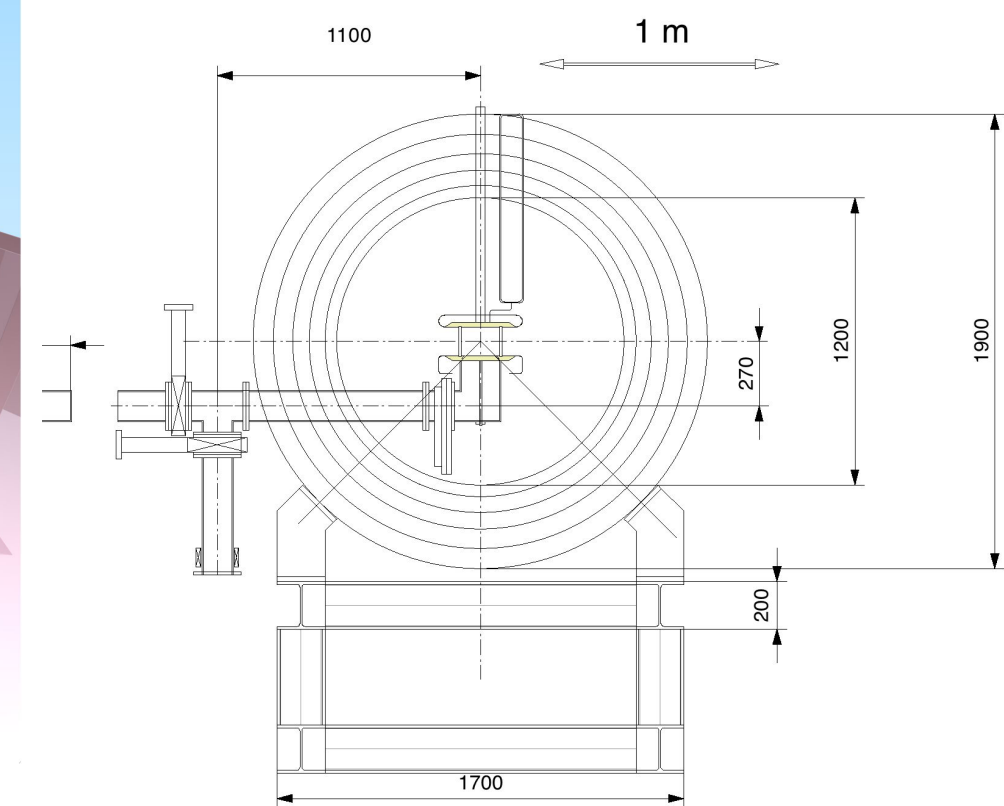


測定セル

Rebuncher ドアの開発が必要



測定計自身は
基本的には ILL と同じ



磁束計

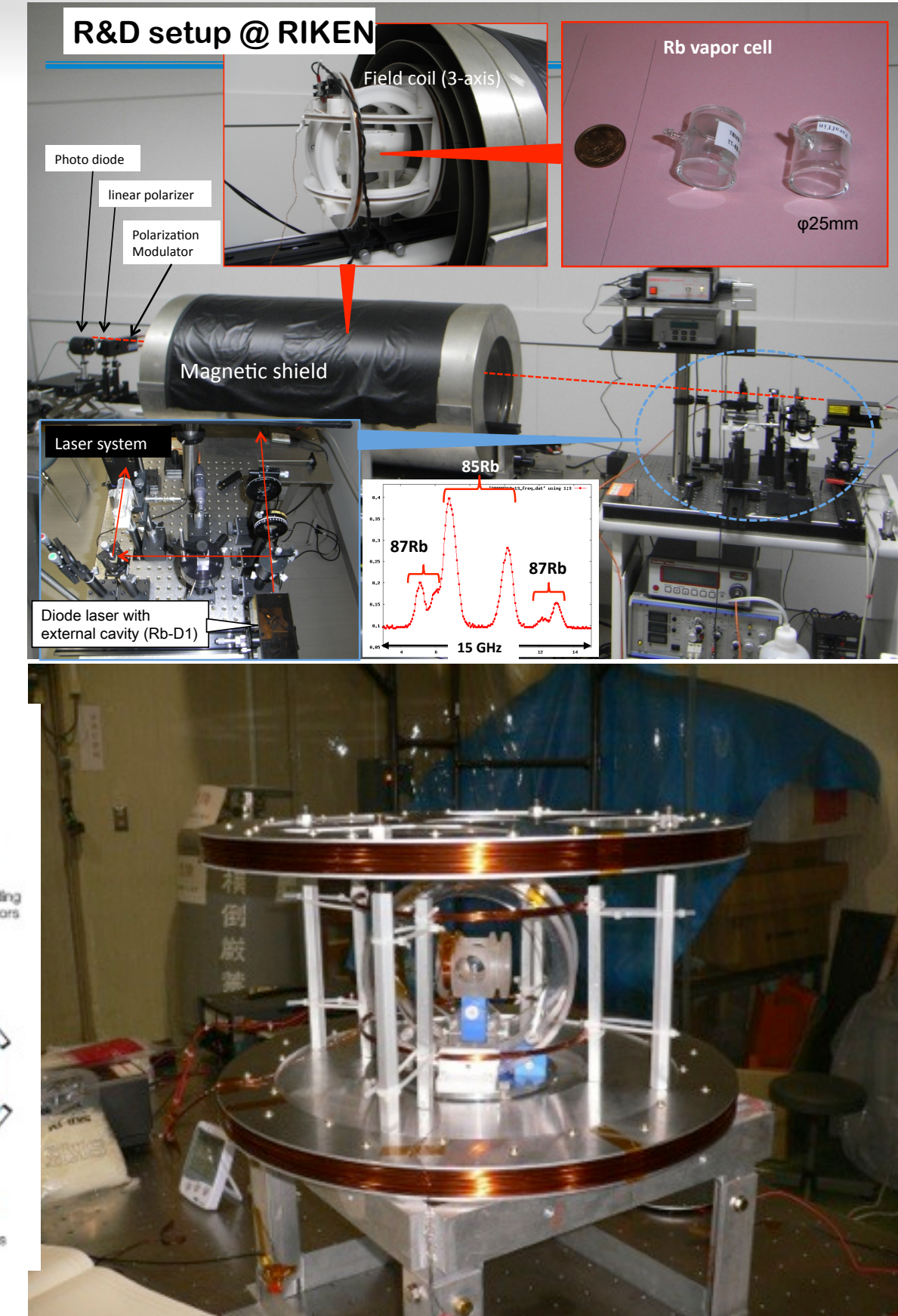
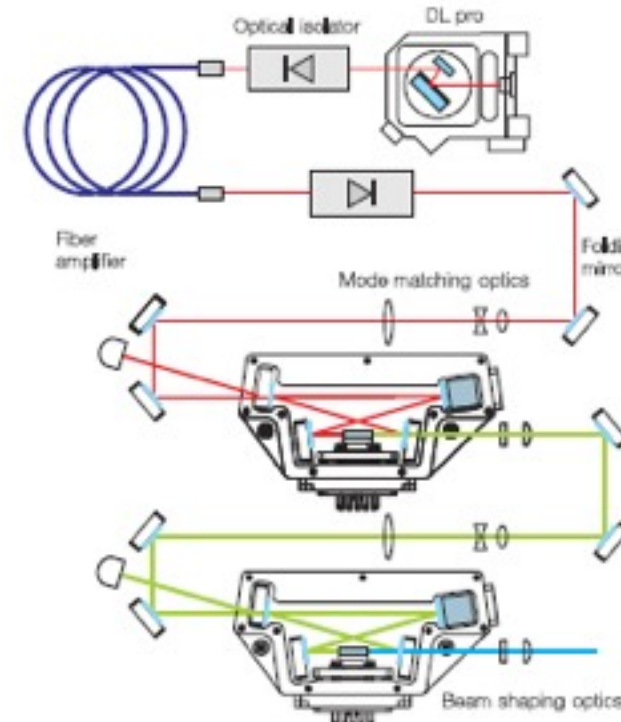
Rb NMOR magnetometer

東工大、理研→岡山大で研究開発

Goal sensitivity = 100 aT (=0.1fT)

Hg Co-magnetometer

UVレーザーによる高性能化



2012年2月27日 KURRI
中性子制御デバイスとその応用V

まとめ

Rebuncher 実証機を ILL でテストした

動作は期待通り、反転率が悪い→RF振幅が小さい

集束を確認した

利用率（反転率）向上のテストを BL05で行う

